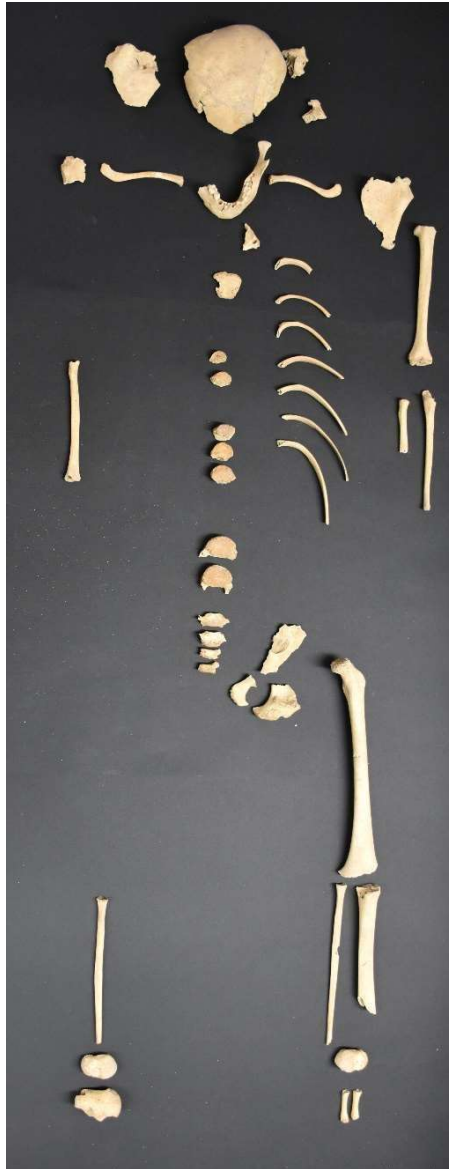




UNIVERSITAT DE
BARCELONA

**La infància a la ciutat romana de *Pollentia* (Alcúdia, Mallorca): estudi
antropològic de dos individus infantils de les necròpolis de Ca'n Fanals i Santa
Anna de Can costa**



Treball final de grau d'Arqueologia

Curs 2021/2022

Tomàs Ballester Coll

NIUB: 20033495

Tutora: Dra. Catalina Mas Florit

Resum

Aquest treball té com a objecte d'estudi dos individus infantils procedents de les necròpolis de Ca'n Fanals i Santa Anna de Can Costa a la ciutat romana de *Pollentia* (Alcúdia, Mallorca). Fonamentant-nos en el seu estudi antropològic, tractarem d'establir un perfil biològic per aquests i aproximar-nos al món infantil en l'antiguitat i la tardoantiguitat.

D'aquesta manera, veurem una sèrie de problemàtiques i trets característics dels individus subadults a nivell cultural i biològic. A més, portarem la nostra recerca a altres indrets, per tal d'establir paral·lelismes i diferències pel que fa els contextos funeraris i la cultura material associada als infants.

Paraules clau

Bioantropologia, món infantil, necròpolis, cultura material, *Pollentia*.

Abstract

The aim of this work is to study two infantile individuals from the necropolis of Ca'n Fanals and Santa Anna de Can Costa in the Roman city of *Pollentia* (Alcúdia, Mallorca). Based on their anthropological study, we will try to establish a biological profile for them and approach the world of children in antiquity and late antiquity.

In this way, we will see a series of problems and characteristic traits of sub-adult individuals at a cultural and biological level. Furthermore, we will take our research to other areas, in order to establish parallels and differences with regard to funerary contexts and the material culture associated with infants.

Key words

Bioanthropology, Children's world, necropolis, material culture, *Pollentia*.

Agraïments

Primer de tot, voldria donar les gràcies a Catalina Mas Florit per accedir a ser la meva tutora. També agrair a la direcció de la ciutat romana de *Pollentia*, Miguel Ángel Cau, Esther Chávez i Catalina Mas, el fet de deixar-me treballar les restes dels individus que protagonitzen aquest treball i depositar en jo la seva confiança any rere any.

Gràcies especialment a Alejandra Calderón Ordóñez per deixar-me treballar amb ella i ensenyar-me amb tantes ganes i paciència, tant al camp com al laboratori. A més, agrair que hagi supervisat l'estudi antropològic contingut en aquest treball final de grau.

Finalment, donar les gràcies als meus pares per donar-me el seu suport en tot moment i ajudar-me a ser qui vull ser.

Índex

1. Introducció.....	4
1.1. Objectius i metodologia.....	4
1.2. Context geogràfic i històric	5
2. La infància en el món romà.....	8
2.1. Aproximació al món infantil	8
2.2. Concepció de la infància	9
2.3. Etapes de la infància en el món romà.....	10
2.4. La cultura material associada als infants	10
2.5. Biologia dels infants.....	15
2.6. Diferències de gènere en la infància.....	16
3. Les necròpolis i els enterraments infantils localitzats a la ciutat romana de <i>Pollentia</i> ...	18
4. Estudi antropològic de dos enterraments infantils.....	22
4.1. Individu UE 8492.....	22
4.1.1. Context de la seva troballa	22
4.1.2. Estudi antropològic	25
4.2. Individu UE 9171	35
4.2.1. Context de la seva troballa	35
4.2.2. Estudi antropològic	38
5. La cultura material lligada a la infància documentada a <i>Pollentia</i>	58
6. Discussió dels resultats.....	60
7. Consideracions finals	65
8. Bibliografia	67

1. Introducció

1.1. Objectius i metodologia

L'objectiu d'aquest treball és fer un estudi de dos individus infantils procedents de diferents necròpolis de la ciutat romana de *Pollentia*, el qual ens permetrà realitzar una primera aproximació al món subadult a la ciutat durant el període roma i tardorromà. A més el fet de realitzar aquest estudi ens ha motivat a fer una revisió de les evidències de cultura material associades al món infantil i els seus contextos funeraris. Destacar que aquest treball, es presenta com una oportunitat que permetrà introduir l'autor a l'antropologia física.

El treball s'ha articulats en tres eixos:

Una primera part teòrica que ocupa els primers capítols en la que es descriurà el món infantil de l'època de manera general (societat, cultura, elements materials aspectes biològics i sexuals, etc.) i s'ha realitzat un estat de la qüestió de les necròpolis localitzades a *Pollentia*, focalitzant-nos en aquelles a on es van documentar els individus objecte d'estudi.

Una segona part més pràctica en la que duem a terme un estudi bioantropològic de dos individus infantils i la descripció d'algunes restes de cultura material relacionades amb el món subadult documentades a la ciutat.

Finalment, es realitza una tasca comparativa en la que es pretén establir semblances, diferències i paral·lelismes entre els enterraments i la cultura materials dels individus estudiats amb exemples d'altres zones geogràfiques.

La metodologia utilitzada ha estat la següent:

Primer de tot, es desenvolupa un procés de documentació intensiu i de recerca bibliogràfica. Dita recerca es va realitzar per assolir dos principis sobre els quals fonamentar l'estudi. En primer lloc, aconseguir un coneixement general sobre el món infantil i el seu paper en l'arqueologia i l'estudi antropològic. En segon lloc, aplicar el principi anterior en el context concret de la ciutat romana de *Pollentia*.

Després de fonamentar una base teòrica sobre la qual treballar, es va procedir a l'anàlisi d'ambdós individus.

Primer de tot, es valorà l'estat de les restes individus a partir d'una descripció òssia i un anàlisi de la columna vertebral. Mitjançant les obres *Juvenile osteology* (Schaefer *et al.*, 2009) i *The osteology of Infants and Children* (Baker *et al.*, 2005) es va du a terme la descripció. Per l'anàlisi de la columna vertebral, a més de les dues obres anteriors també es va utilitzar, *Paleopatologia la enfermedad no escrita* (Isidro i Malgosa 2003). A continuació, es van mesurar les restes conservades dels dos individus estudiats. La referència tinguda en compte per

desenvolupar aquesta feina va ser la obra *Compendio de métodos antropológico forenses para la reconstrucción del perfil osteo-biológico. Tomo I, Osteometría* (Krenzer 2006) i *Juvenile Osteology* (Schaefer *et al.*, 2009). Es va fer servir una taula mètrica, un peu de rei, una esquadra i una cinta mètrica per mesurar les restes.

En tercer lloc, es van realitzar estimacions d'edat en funció de les mesures descrites al paràgraf anterior i un anàlisi de les epífisi dels individus. Les epífisi es van estudiar seguint les indicacions i principis de *Juvenile Osteology* (Schaefer *et al.*, 2009).

Els resultats s'han plasmat en un document Word i/o una taula d' Excel, en funció del tipus d'anàlisi. Si parlem de treballs descriptius el format escollit és Word. En canvi, si es va treballar amb valors numèrics utilitzarem taules d'Excel.

Finalment, es van fotografiar els individus i es van prendre la major quantitat de fotografies possibles per tal de projectar les diferents perspectives i les zones concretes que es volien documentar.

Per la realització del material cartogràfic hem fet servir la Infraestructura de Dades Espacials de les Illes Balears (IDEIB) que permet la creació de mapes en línia.

1.2. Context geogràfic i històric

Pollentia es troba al nord-est de l'illa de Mallorca, sobre uns terrenys localitzats al sud-est del centre urbà del municipi d'Alcúdia, amb una extensió aproximada d'entre 15 i 21 hectàrees (Fig. 1).

Es tracta d'una ciutat creada *ex novo* estratègicament localitzada en una petita elevació, a l'inici de l'istme que separa les dues àmplies badies de Pollença (*Portus Minor*), al nord i Alcúdia (*Portus Maior*), al sud (Fig. 2). Aquesta localització espacial li permetia un perfecte control visual de les dues badies i de l'estret que separa l'illa de Mallorca amb Menorca (Orfila 2007: 88-114).

La conquesta romana de Mallorca i Menorca es va dur a terme pel cònsol Quint Cecili Metel Baleàric, per ordre del Senat romà, cap a l'any 123 aC. A Mallorca, es fundaran els nuclis urbans de *Palma* al suroest i *Pollentia* al nord-est (Cau i Chávez 2003: 29).

La intervenció militar a les actuals Illes Balears es va dirigir específicament a les *insulae Baliares*: Mallorca i Menorca, excloent les Pitiüses. La política d'expansió romana a la Mediterrània occidental pretén garantir la seguretat de les rutes marítimes, mitjançant enclavaments estratègics. Dita operació comprendria campanyes a: *Gallia Transalpina* (125-121 aC), *Sardinia* (126-122 aC) i les *insulae Baliares* (123-122 aC) (Orfila 2008: 19-21).

Mapa IDEIB



Crèdits capes: layer13: SITIBSA-GOIB



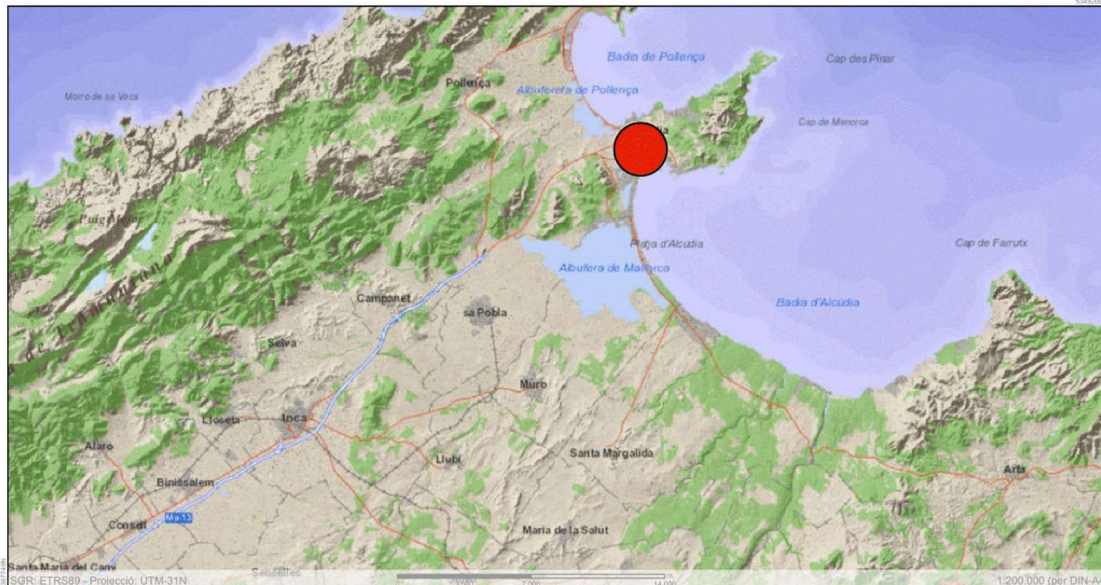
Data impressió: 28/04/2022

La informació normativa publicada té caràcter informatiu. No supleix la necessitat de consultar l'aprovada i publicada per l'organisme competent

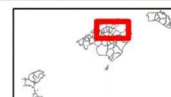
Infraestructura de Dades Espacials de les Illes Balears <https://ideib.caib.es/>

Figura 1: Mapa en el que s'ha indicat mitjançant un polígon verd l'espai que ocupa actualment el jaciment arqueològic. Font: Elaboració pròpia.

Mapa IDEIB



Crèdits capes: GOIB_MapaBase_IB: IDEIB



Data impressió: 16/01/2021

La informació normativa publicada té caràcter informatiu. No supleix la necessitat de consultar l'aprovada i publicada per l'organisme competent

Infraestructura de Dades Espacials de les Illes Balears <https://ideib.caib.es/>

Figura 2: Mapa del nord de Mallorca amb la situació de *Pollentia* entre les badies d'Alcúdia i Pollença. Font: Elaboració pròpia.

S'establiren guarnicions militars permanents que tenien com objectiu la patrulla costera i la vigilància dels nuclis de població sotmesos. Aquestes, s'agruparien en petits nuclis d'assentaments castrens (*castella*). Tot un seguit de punts de defensa que es distribuïrien al litoral mallorquí i menorquí, així com a les proximitats de certs nuclis de població indígena.

Fins fa relativament poc, les dades arqueològiques semblaven indicar que les primeres estructures urbanes no es durien a terme fins als anys 70 aC – 60 aC. S'havia proposat que inicialment, la *Pollentia* que apareix citada en les fonts clàssiques hagués funcionat primer com un campament militar i que uns cinquanta anys més tard, sobre ell s'haguessin creat les primeres estructures urbanes. No obstant això, les recerques actuals semblen indicar que la ciutat ja s'hauria construït en els primers anys després de la conquesta romana de l'illa (Garcia 2003:77-78)

La ciutat romana de *Pollentia* s'assenta sobre un nucli indígena de l'Edat del Ferro i presenta una gran evolució en època tardorrepública. El seu període de màxim esplendor serà en els segles I-II dC. Finalment, la ciutat serà arrasada a finals del segle III per un gran incendi. Tot i això, la ciutat continuarà ocupada, probablement amb una grandària més reduïda, en època vàndala (455-534), època bizantina (534-903) i època islàmica (903-1229) (Vallori, B. *et al.*, 2013:154-156).

Les excavacions a la ciutat s'iniciaren el 1923, sota la direcció de G. Llabrés i R. Isasi (Orfila 2007:89). El sol on actualment trobem *Pollentia* ha romàs abandonat i sense urbanitzar. D'aquesta manera, han sobreviscut diferents sectors de la ciutat (Fig. 3). Des de llavors fins ara s'ha treballat en el jaciment de manera extensiva, descobrint diferents espais i fases cronològiques.

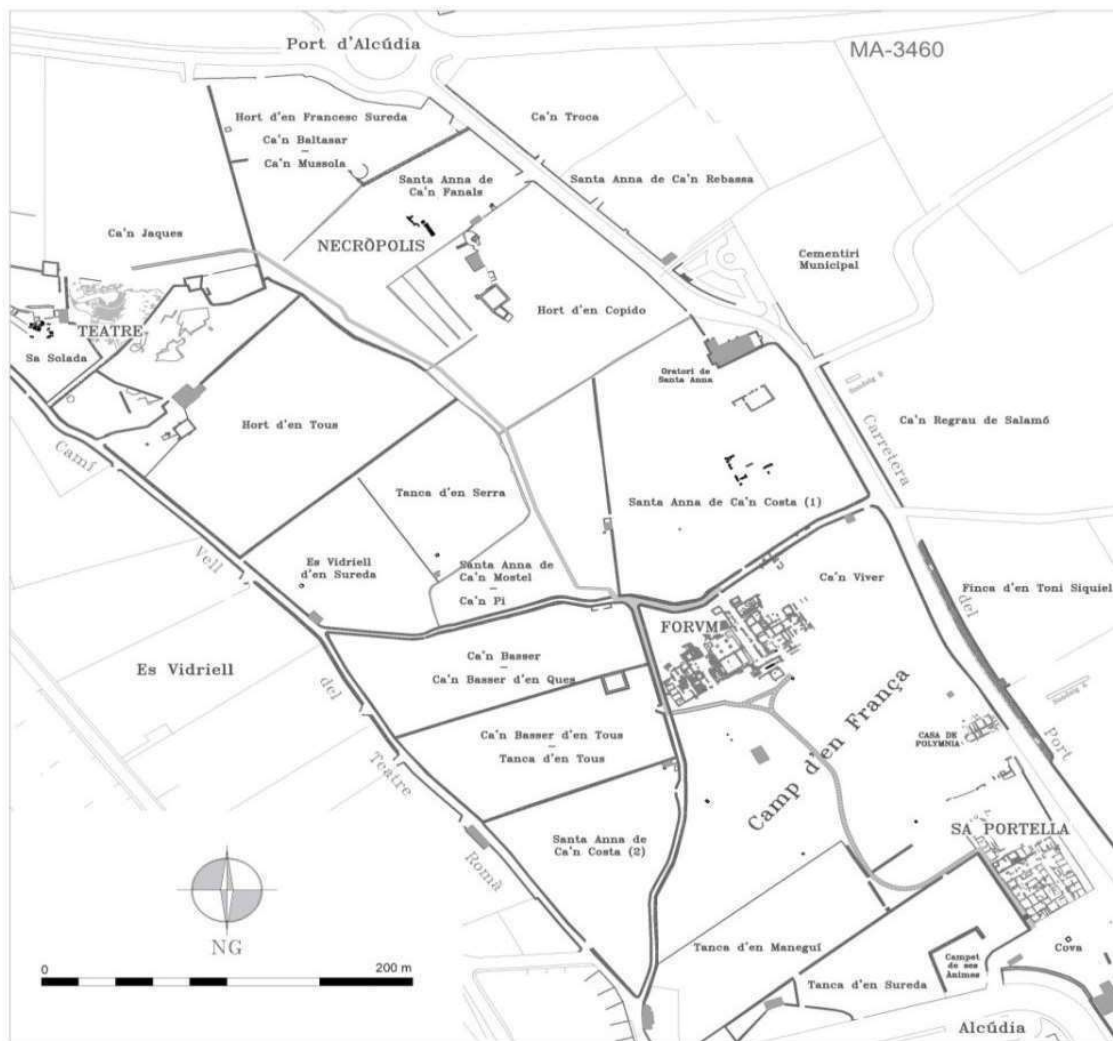


Figura 3: Plànol de les restes actualment visibles a *Pollentia*. Font: Equip d'excavacions de *Pollentia*.

2. La infància en el món romà

2.1. Aproximació al món infantil

Tradicionalment, el món infantil havia estat apartat del discurs bioarqueològic. Si més no, no se li ha donat la importància que mereix, veient-se abocat a una simple menció en un context més ampli centrat en la perspectiva adulta. Darrerament, els investigadors s'han adonat que no es poden entendre les societats passades i presents sense incloure els infants en el seu discurs (Lillehammer 2018:2).

Hi ha una sèrie d'autors, que mitjançant les seves obres ens explicaran com coneixem el món infantil en l'actualitat i com ha evolucionat en els darrers segles: *Emile* (Jean-Jaques Rousseau 1762), *The Century of the Child* (Ellen Key 1909), *Centuries of Childhood* (Philippe Ariès 1962), *The History of Childhood* (Lloyd deMause 1974), *Is there a Story in the History of Childhood?* (Paula Fass 2013).

La manera més directa que tenim de conèixer el món infantil en el passat, és a través dels esquelets en contextos funeraris i la cultura material associada. Es poden determinar: el sexe, l'edat, patologies i accions dutes a terme per l'individu que deixen la seva empremta en l'esquelet. En addició a l'anterior, nous tipus d'anàlisi han sorgit amb gran força i marquen un abans i un després en la disciplina: els estudis d'ADN, d'isòtops, estudis de patògens, etc. En els darrers anys i gràcies al caràcter multidisciplinari de la recerca científica, s'integren diferents disciplines com la sociologia, l'antropologia i l'etnografia (Lillehammer 2018:39).

Val la pena repassar les principals revistes científiques dedicades a l'estudi de l'esquelet humà emmarcades dintre la disciplina arqueològica. Aquestes, resulten publicacions de referència i marquen les principals tendències que seguirà la recerca. Uns quants exemples són: *American Journal of Physical Anthropology*, *International Journal of Osteoarchaeology*, *Journal of Archaeological Science*, *Homo-Journal of Comparative Human Biology*, *Childhood in the past*, *Anthropological Science*, *Antropologischer Anzeiger* and *International Journal of Paleopathology* (Lillehammer 2018:39).

2.2. Concepció de la infància

Hem de tenir en compte, que la concepció romana de la infància, ve condicionada per una societat extremadament militaritzada i esclavista. D'aquesta manera, la guerra i la violència és present en tots els àmbits de la vida de les persones. La infància es considera com un període de incivilització i l'infant s'entén com un ésser salvatge en el seu naixement, el qual és capaç d'aprendre i assolir tota una sèrie de processos. A causa d'aquesta concepció naturalista, l'individu no es podrà incorporar a la societat de manera activa fins que s'eduqui. Un cop assolides una sèrie de idees i principis, aquest esdevindrà un ésser civilitzat (López 2017: 69-70).

Hem vist que la incorporació a la societat d'un infant, vendrà marcada per un procés educatiu. No obstant, distingirem dos tipus d'educació en funció de la seva natura:

L'educació pedagògica i l'educació formativa. La pedagògica, es destina als joves de les famílies que s'ho puguin permetre. S'instruirà aquests en les lletres, les ciències, les arts, la oratòria de manera que tindran l'oportunitat de cultivar-se a nivell acadèmic. La formativa, és l'educació que rep la immensa majoria de la gent. Va destinada a formar l'individu en una feina o unes activitats concretes, per tal de complir una funció i obtenir un benefici econòmic (Downey 1957:340; Allison 2018:168-169; López 2017:70).

2.3. Etapes de la infància en el món romà.

En línies generals, la infància comprèn des del naixement del nadó fins que aquest adquireix les primeres responsabilitats socials, trobem dos moments clarament diferenciats:

La *infantia* va des del naixement fins els set anys, ens referim a la criatura com: *infans*. En aquest període, el nadó es troba sota la tutela de la mare o una cuidadora, la *nutrix*. Aquesta vetllaria per ell realitzant les cures que calguin, jugant i passant la majoria del temps amb ell. Per tant, parlariem d'un entorn femení a on predominaria el joc i es començaria a desenvolupar la personalitat de l'individu (López 2017:71; Allison 2018:166).

El naixement d'un infant a època romana és més que un esdeveniment biològic, implica una sèrie d'actes rituals, el quals, determinaran si el nounat és reconegut per la seva família.

La primera cerimònia que haurà de superar la criatura són els *dies natalis*. Inmediatament després del naixement, es decidirà de manera simbòlica si es reconeix el nounat o no. Llavors, se'l examinarà per detectar contratemps, malformacions i assegurar que el part ha estat exitós. Finalment, se li donarà el primer menjar. Els vuit (nenes) o nou (nens) dies després dels *dies natalis*, són els dies que es coneixen com *primordia*. Superada la *primordia*, es celebren els *dies lustricus* o *dies nominis*. En aquesta cerimònia, l'infant rebrà la *tria nomina* i passarà a formar part de la família definitivament (Mañas i Sainz 2020:239-245; López 2014:76).

La *puerita* o *pueritia*, transcorre dels set als quinze anys. Val a dir que aquest període podria estendre's fins els disset anys, en el cas dels nens. Pel que fa les nenes, aquest període comprèn fins els 12 anys, tot i que també s'allargaria uns anys. La *puerita* comprèn l'etapa entre la infància i l'adolescència. Ens referirem als individus d'aquest període com: *puer*, en masculí o *puella*, en femení (López 2017:72; Allison 2018:168).

2.4. La cultura material associada als infants

Un tret característic del món infantil és el joc i la diversió. D'aquesta manera, generalment pensem en les joguines al referir-nos a la cultura material lligada als individus infantils.

Les representacions antropomorfes juguen un paper protagonista (Fig. 4 i 5). S'han documentat titelles i figures en diferents suports com poden ser argila, os o tela. i que podrien estar articulades o no (López 2014:81; Allison 2018:166-167).

També les representacions animals tenen una gran importància pels individus d'aquest moment (Fig. 6). Trobem la mateixa varietat de suports que en les representacions humanes i distingim una gran quantitat d'animals: aus, cànids, etc (López 2014:81; Allison 2018:166-167).



Figures 4 i 5: figures antropomorfs articulades en suport d'os, tallades i polides (I-II dC). Conservades al *Museo Arqueològic Nacional*. Font: *Red Digital de Colecciones de Museos de España* (Nº Inv.: 1960/13/1, esquerra i 28362, dreta).



Figura 6: Figüreta zoomorfa de bronze que representa un cànid, fosa a motlle (I-II dC). Conservada al *Museo Arqueològic Nacional*. Font: *Red Digital de Colecciones de Museos de España* (Nº Inv.: 3737).

Els jocs de taula ó *tabulae lusoriae* també tindrien un paper important en l'oci (Fig. 7). És cert que generalment es relacionen amb persones adultes, així mateix, s'han trobat testimonis que indiquen que també podrien jugar-hi els més joves. S'han documentat daus i cubells, fitxes i tabes, així com taules de joc. Els suports més utilitzat per la confecció dels taulells i les fitxes són de ceràmica, os o pedra.



Figura 7: Taulell de marbre esculpit (II dC). Conservada al *Museo Nacional de Arte Romano*. Font: *Red Digital de Colecciones de Museos de España* (Nº Inv.: DO 2012/3/2).

Una prova seria el joc de les nous o *nucēs castallatae* (Fig. 8). Es podria jugar de diferents maneres, però es fonamenta en realitzar activitats amb nous. Les nous podrien ser de veritat o fabricades, per exemple en ceràmica. També es practicarien diferents jocs de pilota, de cordes i d'anells (Garcia i Gregorio 2014:85-87). Un testimoni és el mosaic procedent de la *villa romana del Casale*, a Sicília (Fig. 9).



Figura 8: Sarcòfag de marbre en el que es representen infants jugant amb nous (III dC). Conservat a *The British Museum*. Font: *The British Museum Online Collection*.



Figura 9: Mosaic en el que es representen una sèrie de figures femenines realitzant diferents activitats a mode de joc. Font: UNESCO photo archive, Villa Romana del Casale.

Un objecte relacionat amb la religió i superstició romana, és la *bullula* (Fig. 10). Parlem d'un medalló imposat al infant en els *dies lustricus*, després de rebre la *tria nomina*. Aquest element ornamental, a mode de collaret, podia fer-se en diferents suports (os, bronze...) i contenir un amulet en el seu interior amb sentit ritual, el qual protegiria al portador. Un altra element ornamental a destacar és el *crepundia* (Fig. 11), un penjoll amb figuretes i detalls molts variats. A més del seu sentit estètic i ritual, resultaven atractius al infant pel soroll que feien les peces que el componen i fins i tot podien dur campanetes que actuarien com amulets (López 2014:76-81).



Figura 10: Bulla de bronze, decorada amb línies incises (I-II dC). Conservada al Museo Arqueológico Provincial de Ourense. Font: Red Digital de Museos de España (Nº Inv.: DX1028/87).



Figura 11: Crepundia de bronze, decorada amb diferents formes i motius (II dC). Conservada al John Hopkins Archaeological Museum. Font: John Hopkins Krieger School of Arts & Sciences.

Un altra element important pel seu valor estètic i simbòlic, són les togues que prenen un valor molt característic en els primers estadis de vida del individu romà. En els *dies lustricus*, s'imposarà al *infans* que no sigui esclau la *toga praetexta*. Aquesta, indicarà el seu origen lliure. A continuació, la *toga viril*, s'imposarà al *puer* i marca el final de la *pueritia* i l'inici de l'*adolescencia* (López 2014:76; Allison 2018:169).

Finalment, l'element més característic del món infantil juntament amb les joguines és el *guttus*. Es tracten d'una mena de gots utilitzats per les mares i les *nutrix* per donar de menjar als infants. Són objectes ceràmics de parets fines que solen presentar un orifici a la part superior, per ficar-hi l'aliment. A més d'un bec al lateral que recorda a un mugró mitjançant el qual s'alimenta l'infant (Fig. 12).



Figura 12: *Guttus* amb bec lateral i orifici per depositar-hi líquids a la part superior, decorat amb relleus (I aC).
Conservada al *Museo de Cádiz*. Font: *Red Digital de Museos de España* (Nº Inv.: CE12042).

En cas de no estar dotat de bec lateral, el trobarem en un extrem de la peça (Fig. 13). Finalment, aquests objectes poden estar dotats de formes per resultar més atractius al nen. Les figures més representades són animals. D'aquesta manera, parlariem d'un element que serviria per alimentar que també podria esdevenir una joguina (Garcia i Gregorio 2014:74-76).



Figura 13: *Guttus* amb bec a un extrem i orifici vertical per depositar-hi líquids al altra, decorat amb relleus (I aC).
Conservada al *Museo de Cádiz*. Font: *Red Digital de Museos de España* (Nº Inv.: CE06160).

Un altra element propi del món infantil són els *tintinnabula* o *crepitacula*. Són objectes fabricats en argila, metall o pedra i que poden presentar una gran varietat de formes, com per exemple, humanes, animals o geomètriques. Es caracteritzen per presentar orificis a través dels quals entra i surt l'aire produint soroll (Garcia i Gregorio 2014:76-77).

2.5. Biologia dels infants

En bioarqueologia, el terme *infant* permet englobar a qualsevol individu que encara no ha madurat fins assolir l'edat adulta¹(Thomson *et al.*, 2014:2).

El sistema esquelètic del subadult és diferent al d'un individu completament desenvolupat, fet que s'explica atenent a diferents processos: la fusió i l'ossificació, el desenvolupament de les epífisi, etc. Podem definir tres parts molt clares en els ossos llargs subadults: les diàfisi, l'eix sobre el qual s'estructura l'os; la metàfisi, una regió del os en constant creixement situada als límits proximal i distal d'aquest; les epífisi, segments del os situats ambdós extrems que no estan units al os des d'un primer moment, els quals, es fusionaran amb el temps. Les epífisi i les metàfisi es troben separades per teixit cartilaginós (Lewis 2007:61).

L'esquelet es desenvolupa a partir de les 12 setmanes de gestació mitjançant el teixit conjuntiu², a partir de dos processos:

L'ossificació endocondral, és la formació del teixit ossi a partir d'un model cartilaginós a mode de motlle. El model està recobert pel pericondri³ (el qual donarà pas al periosti⁴) i a mesura que es desenvolupi, les cèl·lules centrals formaran vasos sanguinis els quals esdevindran els centres primaris d'ossificació. A partir d'aquest moment es començarà alliberar osteoblasts⁵ que iniciaran la mineralització i la formació de la diàfisi del teixit ossi. Aquest procés continuarà a mesura que es desenvolupen vasos sanguinis en l'extrem del osteoide⁶, d'aquesta manera, es desenvoluparan els centres secundaris d'ossificació. Els ossos llargs són els protagonistes en aquest procés, arribaran a la seva forma adulta mitjançant el creixement del os. A mesura que els condroblasts es depositen a les cèl·lules cartilaginoses del os, augmenta la seva longitud a causa d'una ossificació progressiva. Aquest procés continuarà fins la regressió del teixit cartilaginós que culminarà en la fusió de la diàfisi amb l'epífisi (Lewis 2007:61-62).

L'ossificació intramembranosa forma l'os directament sobre una base membranosa de teixit conjuntiu, sense la necessitat d'un teixit cartilaginós previ, mitjançant l'acció directa dels osteoblasts sobre la membrana. D'aquesta manera, és possible el desenvolupament ràpid del os. Aquest procés succeeix en els ossos parietals i frontal del crani, les clavícules i el maxil·lar (Lewis 2007: 62).

¹ També ens referirem aquests com *individus subadults o individus infantils*.

² Teixit que serveix per sustentar o envoltar teixits del organisme, així com per l'intercanvi de nutrients, la defensa contra infeccions o regulació de la calor corporal.

³ Teixit conjuntiu compostat per col·lagen, irregular i dens que recobreix la major part del cartílag.

⁴ Membrana de teixit conjuntiu que recobreix l'os en la seva superfície externa exceptuant les insercions dels lligaments, tendons i superfícies auriculars. Conté vasos sanguinis que nodreixen i sensibilitzen l'os.

⁵ Cèl·lules encarregades de sintetitzar la matriu òssia.

⁶ Matriu orgànica sense mineralitzar que es forma amb anterioritat a la maduració del teixit ossi.

El cas de l'espina dorsal és especial, ja que combina ambdós mètodes d'ossificació (Lewis 2007:62).

Per factors com aquests, els esquelets infantils tenen més peces òssies i presenten una mesura i unes dimensions característiques. Aquestes, afectaran a l'altura i morfologia dels individus. Els diferents estadis de desenvolupament del sistema esquelètic s'associen a una edat cronològica, mitjançant un estudi acurat, podem establir diferents ventalls d'edat a partir de les restes òssies (Lewis 2007:23-26).

Pel que fa l'esquelet infantil en el context arqueològic, trobem una sèrie de problemàtiques: la conservació i l'evidència d'aquestes restes és pobre, fet que s'explica atenent als processos tafonòmics. Per la seva mesura, pes i la seva ràpida desarticulació, és més fàcil la seva dispersió degut a l'acció animal, vegetal, o moviments del sòl. A més, un individu subadult és més susceptible a descompondre's i ser absorbit pel sòl. També és molt comú que els ossos d'individus subadults no s'identifiquin de manera correcta, confonent-se amb ossos animals (Lewis 2007:20-26).

2.6. Diferències de gènere en la infància

Quan parlem de la societat romana parlem d'una societat patriarcal, on les diferències de gènere són presents en tots els aspectes de la vida del individu:

La primera diferència de gènere, la trobem als pocs dies del naixement: la *primordia*. Comprèn 8 dies per les nenes i 9 dies pels nens. Aquesta distinció és una qüestió cultural, la qual, respon a una característica biològica del cos humà segons el sexe. Els individus femenins creixen i es desenvolupen abans que els masculins, fet que deixa la seva petjada en el ritual (Mañas i Saiz 2020:243).

Una altra diferència de gènere, la trobem en el moment en el que es dona per finalitzada la *pueritia*. En els nens, aquesta etapa acaba entre els quinze i els disset anys. El que marca la seva fi, juntament amb l'edat cronològica, és la presa de la *toga virilis*. Així mateix, en aquest moment oferiran la seva *bulla* depositant-la al *lararium* (López 2014:71; Allison 2018:169).

En el cas de les nenes, aquest període s'escurça fins els dotze anys. Aquesta és l'edat en que s'estableix legalment que una nena pot contreure matrimoni, ja que s'estima comença el seu període reproductiu. Les nenes oferiran les seves joguines a Venus abans del casament, simbolitzant la fi de la seva infància (López 2014: 71; Allison 2018:169).

També trobem diferències de gènere pel que fa a la cultura material. Hem parlat de la *bulla* (Fig. 14), penjoll que normalment es reserva a individus masculins. L'homòleg femení és

la *lunula* (Fig. 15), un penjoll en forma de mitja lluna a mode d'amulet, el qual reben les dones en els *dies lustricus*. (Mañas i Saiz 2020:245).



Figura 14: Bull d'os (I dC). Conservada al Museo Arqueológico Nacional. Font: Red Digital de Museos de España (Nº Inv.: 37883).



Figura 15: Lunula d'or (I-III dC). Conservada al Museo Arqueológico Nacional. Font: Red Digital de Museos de España (Nº Inv.: 52551).

Finalment, parlarem de diferències en l'educació. En la *infantia* no trobem grans diferències, no obstant, en la *pueritia* s'obren dos camins en funció del sexe. Per una banda, la *puella* seguirà sota la tutela de la mare a la casa. La seva educació, consistirà en aprendre a dur a terme els treballs de manteniment. Si la nena forma part de les elits podrà rebre una educació bàsica, però no podrà gaudir d'un ensenyament superior. Romandrà a la casa amb la seva mare fins el seu casament, moment en el qual passarà a dirigir la seva pròpia casa (López 2014:71-72; Allison 2018:166).

Per altra banda, l'individu masculí rebrà una educació primària fins els 11 anys i posteriorment, gaudirà d'un ensenyament superior. Mentre la nena roman a la privacitat de la casa, el nen acompanyarà el pare en les seves activitats socials. En un sentit formatiu, el *puer* ja pot acompanyar al mestre per aprendre un ofici o unes activitats concretes (López 2014:71-72; Allison 2018:167-169).

3. Les necròpolis i els enterraments infantils localitzats a la ciutat romana de *Pollentia*

Pollentia presenta diverses zones de necròpolis contingudes a la ciutat i fora dels límits d'aquesta (Fig. 16) (Cardona *et al.*, 2013:127; Cardona 2009:430).

La troballa d'aquestes àrees funeràries ha permès reconèixer el possible perímetre de la ciutat, en els límits nord i sud. No obstant, no s'ha pogut delimitar en els extrems est i oest. Recordem que en època romana, les necròpolis es situen als camins i principals vies de comunicació dels nuclis urbans (Sastre i Cardona 2013:135).

Dins el perímetre actual de la ciutat romana i les seves immediateses trobem la necròpolis de Ca'n Sureda, documentada el 1917 al sud de la finca La Solada a on es descobriren un seguit de tombes i urnes d'incineració on es trobaren materials de diversa natura. Prop de Ca'n Sureda, trobem la necròpolis de La Solada on es localitzà una sepultura cinerària amb restes òssies al 1902. Associades a aquestes restes, es van trobar dues arracades, un penjoll, un cinturó, agulles i monedes. Aferrada a la finca de La Solada trobem la necròpolis alt-medieval del teatre romà, conformada per una sèrie de sepultures trapezoidals tallades a la càvea i al sector sud oest d'aquesta zona. Entre tot, destaquem un enterrament infantil (Arribas *et al.*, 1973:27-29).

Al oest del teatre romà, trobem la Necròpolis de Ca'n Fanals amb un total de 80 sepultures documentades en diferents moments.

L'any 1930 a càrrec Llabrés i Isasi s'exhumaren trenta-vuit enterraments, dels quals un és d'un individu infantil. D'aquestes, vint-i-sis formaven una filera i la resta es trobaven disperses. Es poden distingir tres tipus d'inhumacions. En primer lloc, sepultures amb taüt excavades a la roca⁷ que podien contenir més d'un individu. També es documentaren sepultures en fosa excavades a la roca verge⁸ i finalment, trobem un exemple de sepultura constituïda per lloses unides amb morter. Dites inhumacions tenen forma rectangular i tots els individus trobats en posició, estaven en decúbit supí (Arribas *et al.*, 1973:28; Almagro i Amorós 1953:240). Entre els materials documentats a l'interior de les inhumacions destaca un anell d'or que presenta gravat en dos peixos penjant d'una àncora pel que s'ha suggerit una datació de segle IV dC (Castellano Hernández 1997: 124) i s'ha relacionat amb el primer cristianisme a la ciutat. A més cal mencionar que durant les excavacions van aparèixer les restes d'un edifici que va ser posat en relació amb una basílica cristiana. L'edifici estava travessat per algunes de les tombes anteriorment mencionades (Arribas *et al.*, 1973:19-20).

⁷ D'aquests només es conservaven els Claus, tot i que en alguns encara havia restes de fusta.

⁸ Algunes tenien més profunditat ja que eren usades a mode d'osseres. En aquestes, només resta en posició primària l'individu inhumat a major profunditat.

Cap a l'any 1950 es reprengueren els treballs, de la mà de L. Amorós, S. Villaire i J. Qués. Es documentaren quaranta-dos enterraments, 9 corresponents a subadults⁹, tots ells de la mateixa tipologia que els anteriors quals amb l'excepció que s'afegeixen vuit tombes d'incineració. Els diferents aixovars i materials en context es componen fonamentalment per monedes, elements ceràmics i objectes de vidre. A més, destaquen alguns elements de joieria com un collar, un anell i uns penjolls. Segons les restes exhumades es proposa una cronologia per a la necròpolis del I-II dC, (Arribas *et al.*, 1973:28; Almagro i Amorós 1953:240-273).

A partir de l'any 2014 es reprenen els treballs d'excavació en aquesta zona amb l'objectiu de tornar a localitzar les estructures i enterraments documentats en el segle passat, així com les estructures associades que havien estat recobertes un cop finalitzades les intervencions.

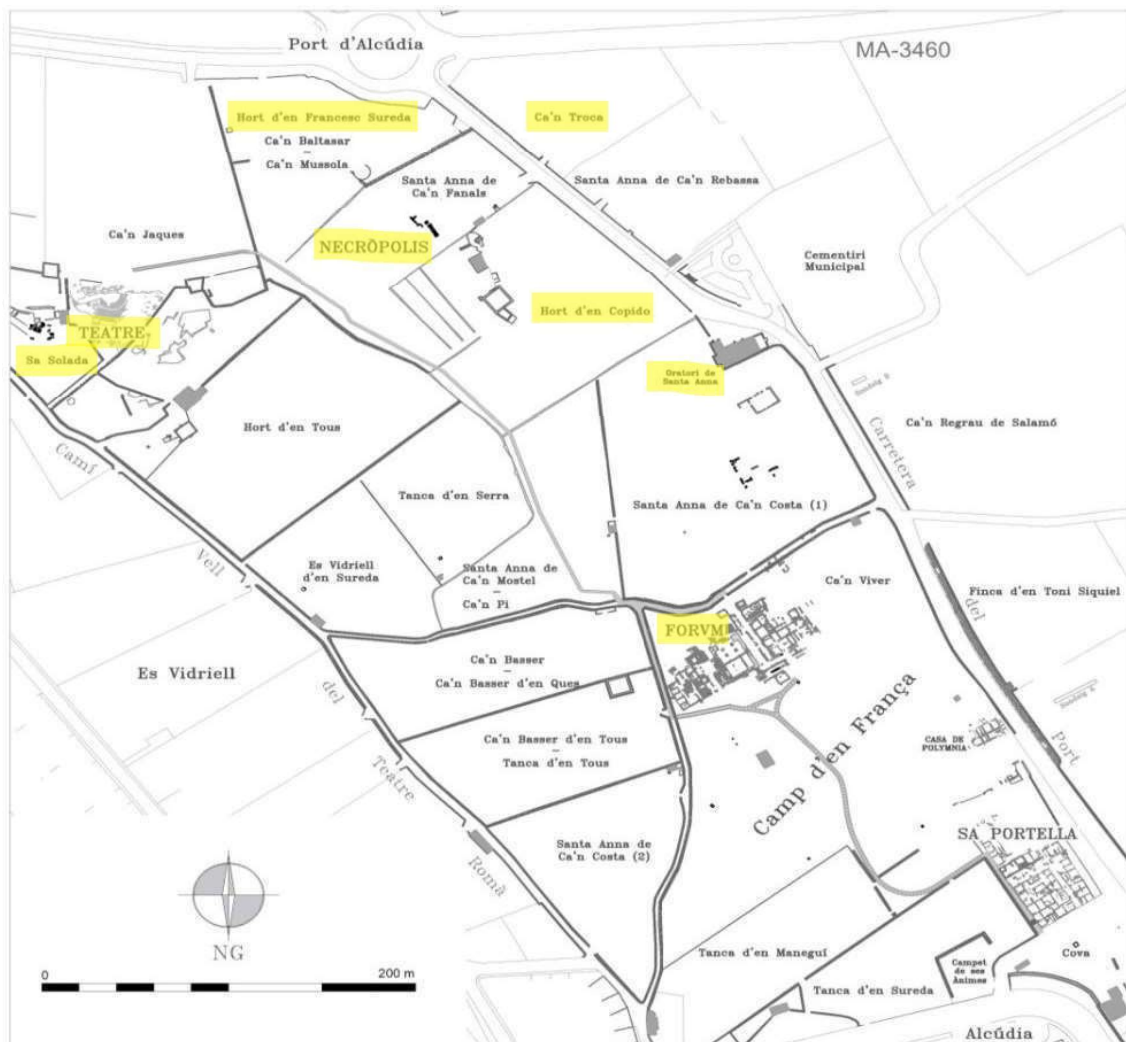


Figura 16: Plànol de les restes actualment visibles a Pollentia. S'ha assenyalat en groc les àrees en les que s'han documentat àrees de necròpolis. Font: Equip d'excavacions de la ciutat romana de Pollentia.

⁹ Sepultures nº 14, 17, 18, 22, 25, 26, 27, 28 i 32.

Al oest de la necròpolis de Ca'n Fanals trobem la necròpolis medieval de Ca'n Troca, descoberta als anys 1956 i 1957, a on es documentaren enterraments rectangulars en lloses de marès sense aixovar associat (Arribas *et al.*, 1973:28).

Al nord de Ca'n Fanals, trobem la finca de Ca'n Copido on es descobriren unes tombes rectangulars excavades a la roca. Les sepultures es trobaven remogudes i segons testimonis locals, en aquest lloc es van trobar: figuretes d'os i fusta, gerretes i un anell d'or (Arribas *et al.*, 1973:28).

Al nord del Oratori de Santa Anna i al sud de Sa Portella, hi trobem el fòrum de la ciutat romana. Les primeres sepultures van ser descobertes a la dècada de 1980, la recerca continua fins avui dia. S'han documentat una enorme quantitat d'enterraments amb més de 150 individus de diverses edats i ambdós sexes, a les zones est i sud del Capitoli (Cardona 2009: 430-431). Les sepultures aparegudes són fosses simples excavades al terra, sepultures simples excavades al terra i coberta per lloses, enterraments en cista, enterraments en cista coberta per lloses, sepultures amb coberta de lloses que reaprofitava una estructura anterior i fosses simple excavada al terra coberta amb lloses i túmul (Cardona 2009: 431-432).

Tradicionalment s'havia pensat que podria correspondre a una necròpolis tardorromana. No obstant, datacions per 14C han demostrat que la major part de les tombes poden datar-se entre el segle X-XII. El més interessant és que aquests enterraments no segueixen el ritual islàmic. S'ha suggerit que ens trobem davant una comunitat no islàmica enterrada en període islàmic (Cau *et al.*, 2017).

Un altre de les necròpolis es la de la Capella de Santa Anna que es troba just enfront del cementiri municipal d'Alcúdia. El descobriment d'aquestes restes, s'emmarca en un projecte d'investigació desenvolupat en aquesta zona al 2014. Durant els treballs d'excavació, es descobriren una gran quantitat d'enterraments. El mètode d'enterrament predominant és de inhumació simple excavada directament al terra natural (Cau *et al.*, 2015:397).

Al actual nucli urbà d'Alcúdia s'han documentat els testimonis que descriurem a continuació (Fig. 17).

Una sepultura trobada al 1861 i un sepulcre descobert al 1898, a una casa ubicada entre el carrer Major i el carrer de la Parra i una sepultura romana documentada a la dècada del 1930, sense informació d'aixovar, situada al Col·legi Parroquial del carrer San Jaume. Trobem també diversos enterraments sense aixovar, posteriors al període romà situats a la zona de l'església parroquial, trobades entre els anys 1930-1950, així com una sèrie de sepultures al antic Bar *Pollentia* (Arribas *et al.*, 1973:26-29).

En el desenvolupament del actual edifici polivalent de Ca'n Ramis va ser descoberta una necròpolis amb tres estructures funeràries: una estructura circular d'incineració amb 780

fragments d'os dins una olla de cuina nordafricana, una inhumació en decúbit supí orientat al oest on destaquen els claus que indicarien la presència d'un taüt i una moneda de bronze (I dC) i una inhumació coberta per lloses en posició decúbit supí on també hi documentem claus (Sastre i Cardona 2013:135-139).

Finalment, parlarem de la finca de Ca'n Corró, prop del actual Auditori d'Alcúdia, treballada als anys: 1954, 1957 i 1968, on s'han documentat un total de 45 sepultures de les quals la majoria s'orienten en posició est-oest i algunes en posició nord-sud. Es van documentar dues classes de tipologia ritual: enterraments en fosses rectangulars, algunes delimitades amb lloses i cremacions. A les segones, destaquen olles i plats-tapadores de cuina nordafricana i una figureta d'un au d'argila cuita (Cardona *et al.*, 2013:128-131).



Figura 17: Mapa del nucli urbà d'Alcúdia amb les diferents necròpolis situades fora de l'actual perímetre del jaciment arqueològic. El límit nord de Pollentia apareix senyalat mitjançant un polígon verd. Font: Elaboració pròpia.

4. Estudi antropològic de dos enterraments infantils

4.1. Individu UE 8492

4.1.1. Context de la seva troballa

L'individu UE 8492 va aparèixer l'any 2014 durant les excavacions de la capella de Santa Anna (Fig. 18).



Figura 18: Vista exterior de la capella de Santa Ana. Font: Cau *et al.* 2015:397.

La intervenció arqueològica a la capella posà de manifest diferents fases constructives de l'edifici (Fig. 19), així com, l'existència d'una seqüència estratigràfica amb nivells d'època romana i època medieval amb un conjunt d'inhumacions associades. Els enterraments pertanyen a moments que van des d'època romana, fins a exemples posteriors a la remodelació de la capella en el segle XV (Cau *et al.*, 2015:397). Es van realitzar datacions de carboni 14 a un total de 11 individus entre els que trobem l'individu UE 8492 pel que es proposa una datació entre el finals de I aC i el primer quart del II dC¹⁰.

Durant les excavacions, es definiren diferents sectors associats a diferents inhumacions depenent de la seva localització i posició estratigràfica. També es definiren dues fases cronològiques: A i B. Aquestes fases, depenen de si parlem del període anterior a la construcció de la capella (fase A, abans del segle XIII) o del període posterior a la construcció d'aquesta (fase B, a partir del segle XIII) (Cau *et al.*, 2015:398-399).

¹⁰ RICH-22151.1.1 (E338/UE8492): 1941±31; calibrated date 68.2% probability = 22AD (65.1%) 86AD; calibrated date (95.4%) probability = 2BC (93.8%) 130AD. Informació proporcionada per l'Equip d'excavacions de Pollentia.



Figura 19: Vista interior de la capella de Santa Ana durant els treballs d'excavació. Font: Fotografia extreta de la memòria d'excavació de 2015 (Cau *et al.* 2015:398).

Al sector 1 trobem les inhumacions E-331 i E-338 que corresponen a les unitats estratigràfiques UUEE 8367 i 8492 respectivament. Els treballs posaven clarament de manifest que l'E-331 (Fig. 20) correspon a un moment posterior a la reestructuració del segle XV, a més, presentava una relació directa amb l'enterrament E-338 (UE 8492).



Figura 20: Fotografia del interior de l'E-331, es poden apreciar les restes del individu 8367. Font: Fotografia extreta de la memòria d'excavació de 2015 (Cau *et al.* 2015:403).

L'E-338 (UE 8492) era parcialment tallada per l'E-331(UE 8367), provocant dubtes alhora de definir una cronologia per l'UE 8492. Val a dir que l'E-331 va ser excavada en fossa rectangular. Així mateix, l'estructura que conté l'individu UE 8492 (E-338) és una fossa simple (Cau *et al.*, 2015:398-399).



Figura 21: Individu UE 8492 dins el seu enterrament (E-338) Es pot apreciar clarament com l'E-338 és clarament tallada per l'E-331. Font: Fotografia extreta de la memòria d'excavació de 2015 (Cau *et al.* 2015: 397).

El sector 2 no aporta una gran quantitat de informació, es mostrejà una tomba de fossa simple: E-341, UE 8637 corresponent a la fase A, anterior a la construcció de l'ermita. Al sector 3 es seleccionaren quatre enterraments: E-344(UE8671), E342(UE8651), E-349(UE8716) i E-351(UE8758). Tots són inhumacions de fossa simple corresponents a la fase A. Al sector 4 s'escolliren el mateix nombre d'enterraments que al sector 3: E-364(UE 8875) E-368(UE 8919) E-372 (UE 8902) E-380(UE 8936), tres són en fossa simple i una en cista, l'únic exemple del context (E-368, UE 8919). A més, una tomba pertany al moment d'ús de l'església primitiva i per tant correspondria a la fase B (E-364, UE8875)(Cau *et al.*, 2015:399).

Les datacions de radiocarboni proposen uns resultats molts clars, la majoria de les restes analitzades corresponen als segles XII i XIII. Nou de les onze mostres corresponen a la conquesta catalana de l'illa, tot i això, crida l'atenció el fet que alguns enterraments es trobin tallats per les parets de l'església primitiva. Aquest fet, ens indicaria l'ús d'aquesta zona a mode de necròpolis abans de la fundació del oratori (Cau *et al.*, 2015:398-401). No obstant, es presenten dues excepcions: En primer lloc, l'individu UE 8492 (E-338) que, tal com hem vist, presenta una cronologia d'època romana (entre finals segles I aC i II dC). En segon lloc, l'individu 8367 (E-331) que data en el segle XV.

Per tant, el lloc va ser utilitzat com a necròpolis durant un lapse de temps prolongat. La tradició s'inicia en època romana, encara que destacar que tan sols s'ha documentat un enterrament d'aquest període. Posteriorment en època medieval es tornarà a reutilitzar el lloc com a necròpolis documentant-se tres fases diferenciades. Primer la fase anterior a la fundació del oratori (abans

del s. XIII); segon, la fase corresponent a l'església primitiva (s. XIII-s. XV); finalment la fase posterior a la reestructuració del segle XV.

4.1.2. Estudi antropològic

En línies generals, l'individu UE 8492 ha patit les conseqüències dels processos post-deposicionals ja que ha perdut les extremitats inferiors i la superior esquerra. Les afectacions tafonòmiques que haurà patit són clarament explicables atenent a les diferents fases d'ocupació, succeïdes en la zona on localitzem el seu enterrament (Fig. 22).

Un cop hem destacat les parts que no són presents en les restes conservades, passem a veure l'esquelet que es conserva:

En primer lloc, el crani es troba força fragmentat però els ossos parietals es conserven en una gran proporció. A més, la sutura sagital és clarament marcada i visible. La resta del crani conservat compren fragments informes els quals són difícilment identificables. Val a dir que no es conserven exemples dentals ni del maxil·lar ni de la mandíbula, regions que no s'han conservat. Aquest fet, s'explica ja que falta la part frontal del crani (Fig. 23).



Figura 22: Vista general de totes les restes conservades del individu UE 8492.



Figura 23: Fotografia de les restes cranials conservades.

Així mateix, les sutures cranials són clarament identificables. Tot i que no han iniciat el procés de fusió, a causa de la breu vida del individu UE 8492, les fontanel·les han desaparegut de forma clara. Aquest procés de desaparició de les fontanel·les succeeix cap el primer o el segon any de vida, depenent de la fontanel·la (Fig. 24). D'aquesta manera, podem afirmar que aquest individu hauria superat els dos anys de vida (Schaeffer et al., 2009:338).

En segon lloc, podem analitzar la columna vertebral. Si bé és cert que l'axis (C2) no han arribat als nostres dies, es conserven dos exemples de vèrtebra cervical. Per una banda, conservem un fragment d'atles (C1) (Fig. 25).

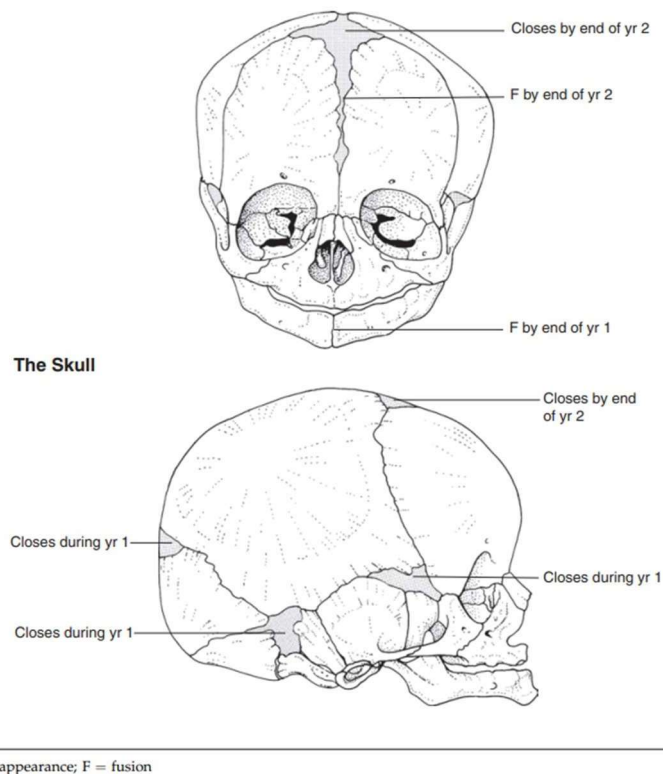


Figura 24: Il·lustració en la que s'indica l'edat de tancament de les fontanel·les en nounats (Schaeffer *et al.* 2009:338).



Figura 25: Fotografia del fragment d'atles (C1) conservat.

El fragment conservat consisteix en la careta auricular dreta i el foramen transvers, ens pot aportar una gran quantitat d'informació (Schaefer *et al.*, 2009:106-107):

La careta auricular, no està fusionada al arc anterior, fet que s'adona cap els 5-6 anys. D'aquesta manera, l'individu UE 8492 no hauria arribat a complir aquesta edat. Un altra cosa que ens pot ajudar establir una edat és el tancament del foramen transvers que es completa cap els 3-4 anys, cosa que no passa en el nostre cas. Si bé és cert que aquest procés s'ha iniciat ja que les projeccions hi són presents, no s'ha completat. Aquests fets ens permeten especular que parlariem d'un individu de uns 2-3 anys d'edat (Fig. 26)(Schaefer *et al.*, 2009:340; Mourelle 2004:16-17).

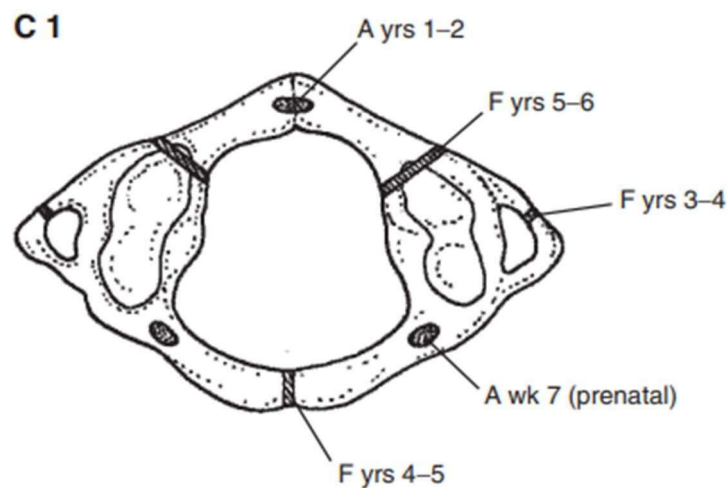


Figura 26: Il·lustració en la que apareixen els diferents moments cronològics en els que es fusionen els elements que componen l'atles (C1) (Schaeffer *et al.* 2009:340) .

Conservem una vèrtebra cervical pràcticament intacta, composta pel cos vertebral i els corresponents arcs. El cos es presenta totalment ossificat, així mateix, la fusió dels arcs amb aquest no s'ha dut a terme (Fig. 27), fet que succeeix cap als 3-4 anys (Fig. 28)(Schaefer *et al.*, 2009:98-103; Mantilla *et al.*, 2018:3).

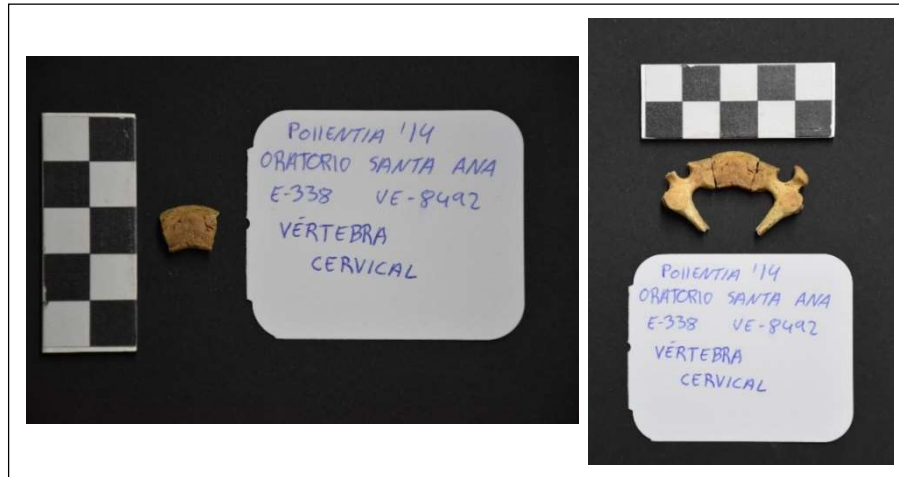


Figura 27: Fotografia del cos de la vèrtebra cervical conservada (esquerra) i fotografia de la vèrtebra cervical amb els respectius arcs vertebrals, sense fusionar.

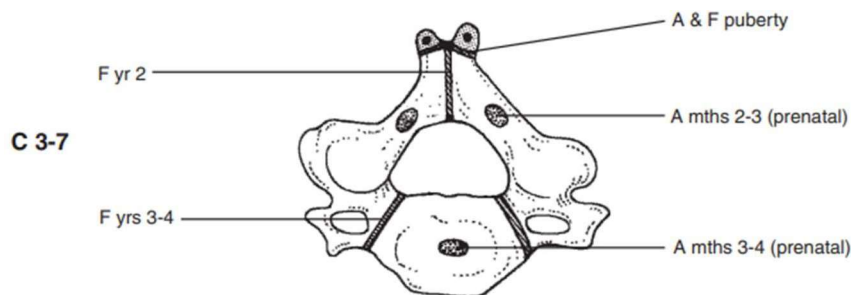


Figura 28: Il·lustració en la que s'indiquen els temps de fusió de les parts que componen una vèrtebra cervical (Schaffer *et al.* 2009:341)

S'ha recuperat una vèrtebra toràcica o dorsal amb el cos vertebral completament ossificat i diversos arcs vertebrals corresponents a aquests tipus de vèrtebres (Fig. 29). Cos i arcs tampoc haurien fusionat, procés passaria entre els 3-5 anys (Fig. 30).

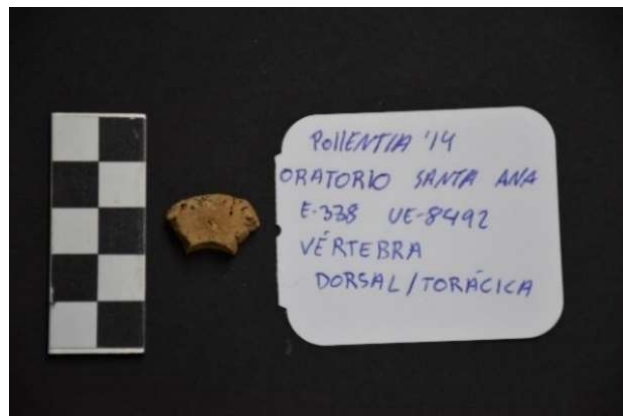


Figura 29: Fotografia del cos de la vèrtebra toràcica conservada

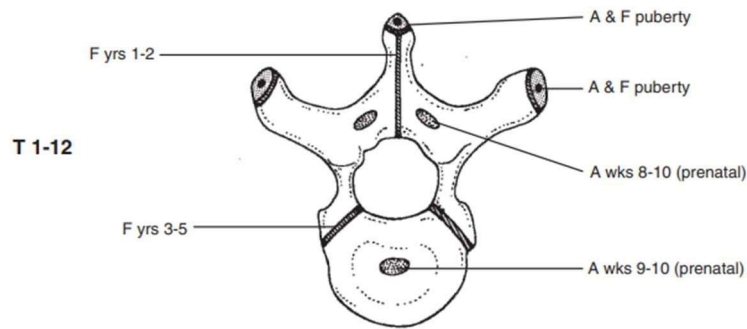
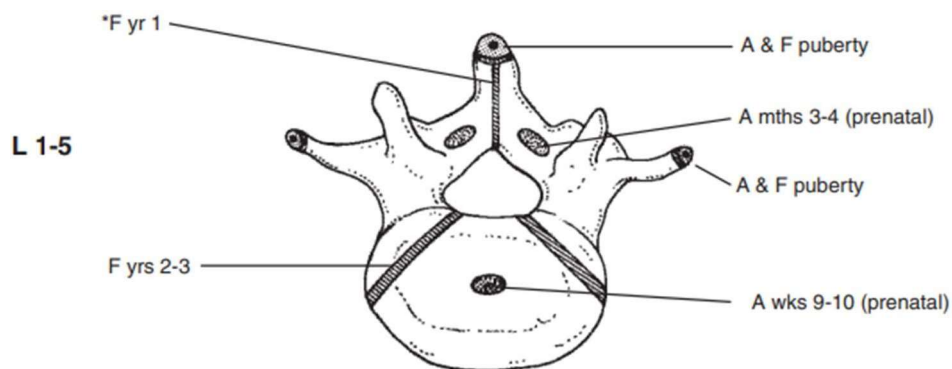


Figura 30: Il·lustració en la que s'assenyalen els moments de fusió dels elements que componen una vèrtebra dorsal o toràcica (Schaeffer *et al.* 2009:341).

Finalment, pel que fa les vèrtebres lumbars, conservem un cos vertebral completament ossificat i algun arc vertebral (Fig. 31)(Schaeffer *et al.*, 2009:98-106). La fusió dels arcs amb el centrum es du a terme entre els 2-3 anys, però Krenzer endarrereix aquest fet fins els 6 anys (Fig. 32)(Schaeffer *et al.*, 2009: 341; Krenzer 2006:41-42). Aquest procés no s'ha donat en cap de les vèrtebres, de manera que l'individu tindria 3 anys com a màxim (Schaeffer *et al.*, 2009:341).



Figura 31: Fotografia del cos de la vèrtebra lumbar conservada.



* Does not always fuse in L5

Figura 32: Il·lustració en la que s'indica l'edat de fusió de les parts que componen una vèrtebra lumbar (Schaeffer *et al.* 2009:341)

Per acabar amb la columna vertebral, veurem l'os sacre (Fig. 33). Conservem un segment fusionat en si mateix, de manera que el cos està unit a les ales i els arcs neurals. No obstant, els segments no estarien units entre sí. Malauradament, es troba fracturat en els seus extrems (Schaefer *et al.*, 2009:110-111).



Figura 33: Fotografia del segment d'os sacre conservat.

La fusió dels diferents segments no succeeix fins una edat força avançada, iniciant-se passats els 10 anys de vida. No obstant, la fusió del centrum (cos) amb els elements laterals (costals) es porta a terme entre els 2 i els 6 anys (Fig. 34). Aquest espectre coincideix amb la hipòtesi que es planteja anteriorment de tractar-se d'un individu d'uns 2-3 anys (Schaefer *et al.*, 2009:342).

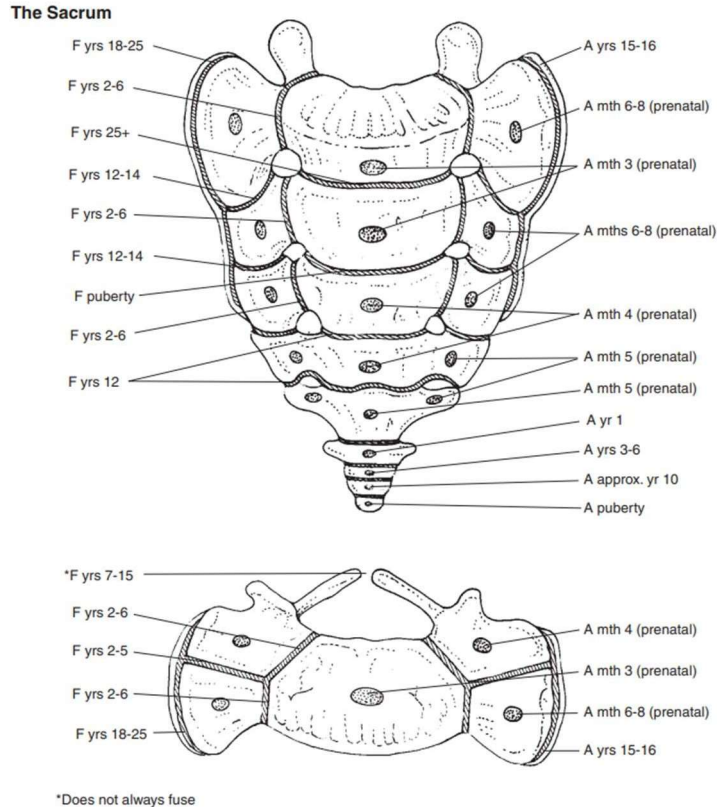


Figura 34: Il·lustració en la que es mostren els temps d'unió de les diferents regions que conformen l'os sacre (Schaefer *et al.* 2009:342).

En tercer lloc, la cintura pectoral: Comencem per la clavícula dreta (Fig. 35), de la qual es conserven els dos extrems però està dividida en dos fragments. Trobem un trencament proper al extrem medial, a més, en el seu extrem lateral localitzem un petit trencament. La clavícula esquerra està trencada en l'extrem esternal.



Figura 35: Fotografies de les clavícules del individu UE 8492, clavícula dreta (imatge esquerra) i clavícula esquerra (imatge dreta).

Atenent a les escàpules es conserva l'escàpula dreta encara que no es troba completa però es conserva part del límit intern, la fossa glenoidea i el procés coracoide (Fig. 36)(Schaefer *et al.*, 2009:151).



Figura 36: Fotografia de l'escàpula esquerra.

En quart lloc, el tòrax es compon per un total d'onze fragments de diferents costelles i diversa tipologia. Pel que fa a l'estern, no s'ha conservat (Fig. 37).



Figura 37: Fotografia que ofereix una vista general de les costelles conservades.

En cinquè lloc, pel que fa als membres superiors de l'esquelet, conservem l'extremitat dreta:

Conservem la diàfisi del húmer (Fig. 38), que es troba trencat en la seva part distal perdent-se aquest extrem. Així mateix, en la seva part proximal es troba també fragmentada. Aquest fet no ha provocat més danys al os més enllà de deixar visible l'interior del os en aquesta zona.



Figura 38: Fotografia del húmer dret.

Pel que fa el radi conservem la diàfisi, la qual, es troba trencada en dos fragments i s'ha perdut el seu extrem distal (Fig. 39). L'extrem proximal es conserva però es troba fracturat. Aquest trencament permet observar l'interior del os, provocant una fractura sagital (Schaefer *et al.*, 2009:184).



Figura 39: Fotografia dels dos fragments que componen el radi dret.

El cas de la ulna és diferent, es troba trencat en dues fraccions (Fig. 40). No obstant, les dues parts conservades són els corresponents als extrems proximal i distal. Malauradament, s'ha perdut tot el cos del os (diàfisi medial), així com gran part del os corresponent al extrem proximal (olècranon i apòfisi coronoide).



Figura 40: Imatge de l'ulna.

Per acabar amb l'extremitat dreta, passem a veure la mà (Fig 41). Es conserven 7 elements: 2 metacarps, 2 falanges proximals, dos falanges medials i una falange distal. Si bé és

cert que no conservem la mà sencera, les restes conservades són força representatives. A més, es troben en un bon estat de conservació (Schaefer *et al.*, 2009:200-217).



Figura 41: Fotografia dels ossos conservats que componen la mà dreta del individu UE 8492.

Finalment, l'única part conservada de la pelvis és l'os isqui, corresponent a la pelvis esquerra (Fig. 42). Es troba completament ossificat en si mateix i en un estat excepcional.

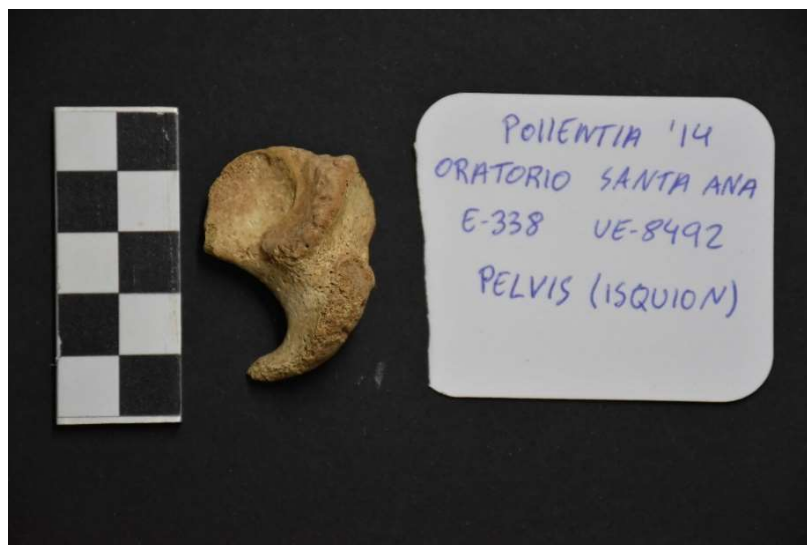


Figura 42: Fotografia del isquion, l'únic element conservat de la pelvis del individu que veiem.

Primer de tot, aclarir que l'esquelet no presenta signes de violència o traumatismes. Si bé és cert que hem parlat de trencaments, tots s'han dut a terme *post-mortem* a causa de processos tafonòmics (Lewis 2007:163-166). No hem distingit evidències *ante-mortem*, tampoc pel que fa signes de malalties o afeccions com, per exemple, porositats, marques d'escorbut, línies de Harris, nòduls de Schmörl o processos infecciosos.

Pel que fa el dimorfisme sexual, sempre és una qüestió complicada en individus subadults. Normalment, desenvolupem un anàlisi en funció de caràcters sexuals secundaris. Aquests, són una sèrie de característiques fisiològiques diferents en funció del sexe. Podem classificar-les en dos grans grups: Els marcadors cranials i els post-cranials (Fig. 76-80). No obstant, no són clarament visibles fins a la pubertat, en la que l'individu comença desenvolupar els caràcters sexuals a causa dels diferents processos hormonals testimoniats en l'estructura òssia. Així mateix, si que es poden estudiar per realitzar una aproximació que conjuntament amb estudis de morfogeometria avançada i els estudis d'ADN ens aportaran una conclusió definitiva (Lewis 2007:47-55; James 2016:35-37; Estévez 2018:82-87).

Malauradament la definició del sexe biològic en l'individu UE 8492, fonamentant-nos en marcadors sexuals, resulta gairebé impossible. Emperò, sabem que parlem d'un individu d'uns 2-3 anys d'edat.

4.2. Individu UE 9171

4.2.1. Context de la seva troballa

L'individu UE 9171, va ser documentat a la necròpolis de Ca'n Fanals. Com hem vist a l'apartat 3, Ca'n Fanals ha estat un àrea on s'han desenvolupat diferents intervencions arqueològiques (Fig. 43 i 44).



Figura 43: Vista general de la filera de tombes excavades a Ca'n Fanals al any 1930. Font: Memòria d'excavació del any 2015 (Cardona *et al.* 2015:256).



Figura 44: Fotografia, a mode de detall, d'alguns enterraments descoberts en els treballs de 1930 a Ca'n Fanals. Es poden observar restes humanes contingudes als enterraments. Font: Memòria d'excavació del any 2015 (Cardona *et al.* 2015:255).

Serà durant la campanya de 2015 quan es documenti l'individu UE 9171 contingut dins l'E-400, així com altres 8 inhumacions totes elles disposades en fila (Fig. 45)(Cardona *et al.*, 2015:253-257). Les datacions de carboni 14 permeten proposar una cronologia a cavall entre els segles V i VI dC per l'individu objecte d'estudi¹¹. Com ja s'ha mencionat, les restes trobades a la necròpolis permeten proposar una cronologia que aniria des de segle II- III dC fins a l'antiguitat tardana.



Figura 45: Fotografia aèria de la filera de tombes excavada. S'ha indicat quina unitat estructural correspon a cada sepultura. Font: Memòria d'excavació del any 2015 (Cardona *et al.* 2015:269).

¹¹ RICH-22363 (UE917-E400) : 1563±29BP; 68.2% probability = 420AD (68.2%) 540AD; 95.4% probability = 410AD (95.4%) 560AD. Informació proporcionada per l'Equip d'excavacions de *Pollentia*.

L'individu UE 9171 (E-400) es localitzava en un petit espai entre dues inhumacions d'individus madurs: E-393 i E-394. L'E-400 era coberta per l'UE 8600, en ser retirat aquest estrat, quedaren a la vista dues lloses de marès encaixades amb pedres i tègules que segellaven l'enterrament (Fig. 46). La coberta (UE 9129) pareixia que no s'havia alterat amb les excavacions precedents, d'aquesta manera, la tomba semblava inèdita a diferència de les altres excavades durant la campanya.

Quan es va retirar el recobriment (UE 9129) es podia apreciar clarament el retall a mode de fossa, més ample al cap i s'anava estrenyent fins arribar a l'amplada mínima als peus. A mesura que es va excavar, es trobaren restes de dos individus infantils. Per una banda, es va localitzar un individu infantil articulat (UE 9171), que es trobava en el fons de la fossa en posició decúbit supí, orientat en direcció oest-est i les extremitats superiors i inferiors esteses, de manera que la mà dreta descansava sobre la seva pelvis. Per una altra banda, aparegué un individu infantil desarticulat (UE 9131). Crida l'atenció el fet que el cap del Individu UE 9131, descansava sobre el pit de l'individu UE 9171. També destaca que l'individu desarticulat tenia ossos dispersos per tot l'estrat de rebliment de la tomba (UE 9167). El rebliment era format per un sediment homogeni, de tonalitat grisosa (Cardona *et al.*, 2015:271-272).



Figura 46: Fotografies del procés d'excavació del individu UE 9171. S'assenyala els dos individus continguts en l'E-400 per aclarir l'explicació i diferenciar-los dins la sepultura. Font: Memòria d'excavació del any 2015 (Cardona *et al.* 2015:273).

4.2.2. Estudi antropològic

El crani consta de 52 fragments recuperats (Fig. 47), destaca un fragment molt gran en comparació a la resta que es compona pels ossos frontal i parietals. Es poden apreciar clarament les sutures coronàries i la sagital, la sutura metòpica ha desaparegut.



Figura 47: Fotografia de les restes cranials.

La mandíbula de l'individu UE 9171 s'ha conservat, però s'ha perdut la branca mandibular dreta a partir del segon molar. Tenim una gran quantitat de peces dentals conservades, dins i fora de la pròpia mandíbula (Fig. 48 i 49). Crida l'atenció el fet que la part frontal de la mandíbula es troba trencada, deixant a la vista l'incisiu dret definitiu que hauria desenvolupat l'individu.



Figura 48: Fotografies de la mandíbula des d'un punt de vista superior (esquerra) i frontal (dreta).



Figura 49: Fotografia general de les peces dentals conservades fora de la mandíbula.

Breument, desenvoluparem el model dental segons Krenzer (Krenzer 2006:22), fonamentat en el treball de Ubelaker (1989) (Fig. 50): Als 6 mesos del naixement apareixen els incisius caducs. Fins als dos anys es desenvoluparà la resta de dentició caduca (caní i dos premolars), moment en el que culmina aquest procés. Aquesta dentició serà utilitzada per l'individu fins els 6 anys, edat en la que s'iniciarà la substitució a la dentició definitiva i sorgeix el primer molar permanent. L'erupció de les peces dentals definitives, s'iniciarà com la de les peces caduques: pels incisius. Des d'aquest moment fins els 11 anys, es desenvoluparan els dos premolars i el caní. Arribats aquest punt, resten per sorgir dues dents: els segons molars que sorgeixen cap els 12 anys i els tercers molars que sorgeixen cap els 18 anys, gairebé ja a l'edat adulta (Krenzer 2006:22; Ubelaker 1989:64).

En el cas del individu UE 9171, considerem que estem davant un individu d'uns 4-5 anys en virtut del que hem explicat i el que expliquem a continuació: El trencament de la part frontal de la mandíbula, que deixa a la vista el primer incisiu permanent dret, ens indica que l'individu encara no s'ha desfet de la dentició caduca. En altres paraules, els incisius definitius que es desenvolupen cap els 6-7 anys encara no han sorgit. A continuació, prestem atenció al primer molar el qual encara es troba contingut a la mandíbula. No obstant, sense haver sorgit al exterior de la mandíbula, es troba força desenvolupat. D'aquesta manera, si l'individu hagués gaudit d'uns pocs anys més de vida, l'erupció d'aquesta peça s'hauria dut a terme (Ubelaker 1989:64).

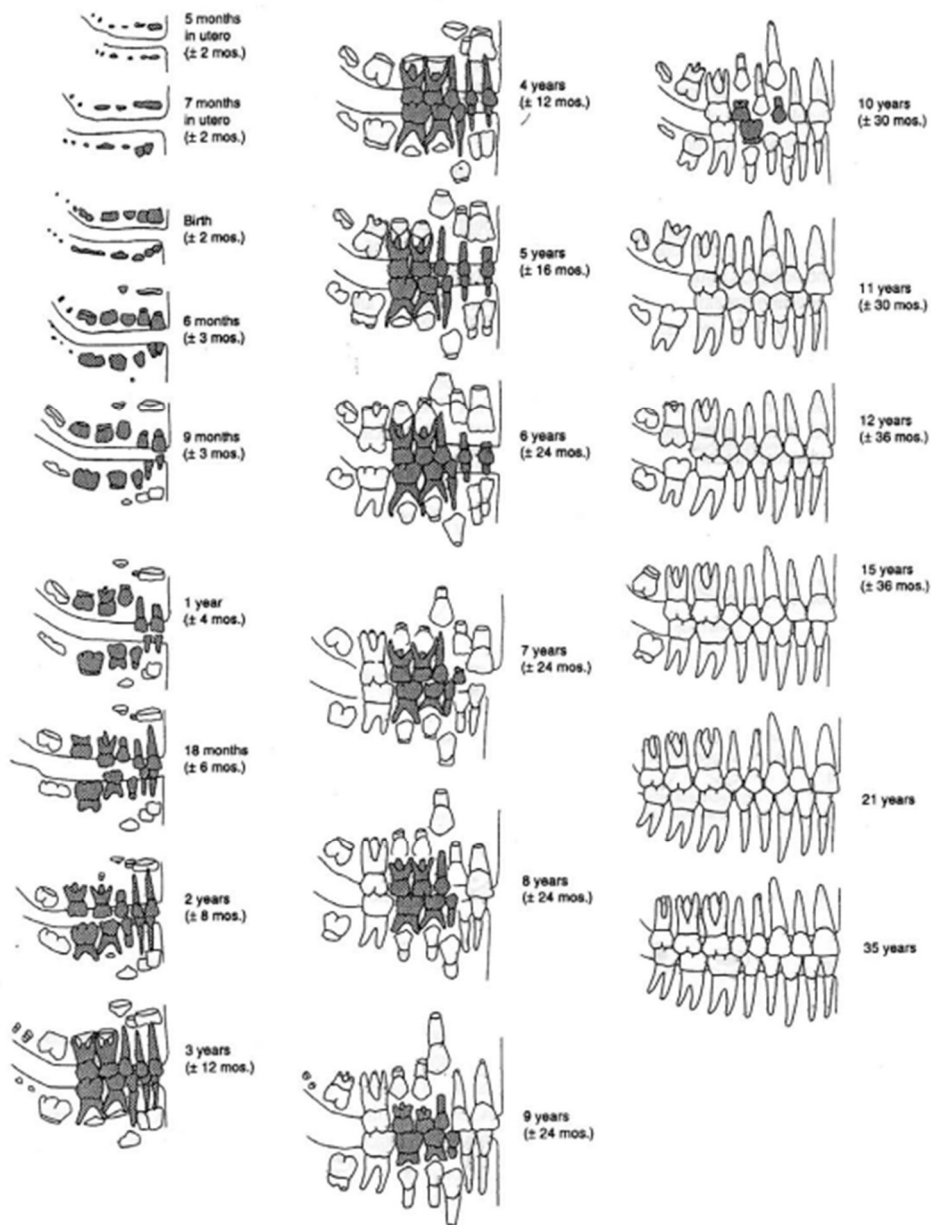


Figura 50: Il·lustració en la que es mostra el desenvolupament dental des del seu inici fins que es completa el procés (Ubelaker 1989).

Pel que fa a la columna vertebral, conservem exemples de totes les parts d'aquesta regió. L'atles (C1) s'ha recuperat en forma de fragment (Fig. 51), ha conservat la careta auricular dreta i el foramen transvers, així com l'arrencament dels arcs anterior i posterior. Els arcs de C1 s'han unit¹² i el foramen transvers s'ha tancat¹³. D'aquesta manera, segons Schaeffer *et al.*, (2009) i Mourelle (2004), l'individu hauria superat els cinc anys de vida (Fig. 26)(Schaefer *et al.*, 2009:106; Mourelle 2004:16-17).

¹² Fet que succeeix entre els 5-6 anys, en que la careta auricular es fusiona amb l'arc anterior.

¹³ Procés que es desenvolupa entre els 3-4 anys, creant un orifici.



Figura 51: Fotografia del fragment conservat d'atles (C1).

En grans trets s'han conservat dues vèrtebres cervicals clarament reconeixibles, però fragmentades; tres dorsals o toràciques i dues lumbar (Fig. 52). Les úniques que conserven els arrencaments dels arcs vertebrals, són les lumbar. Hem de suposar que aquest fet ve donat per la robustesa de la vèrtebra.

Trobem una gran quantitat de fragments de tots els tipus: cossos vertebrals, arcs vertebrals, apòfisis, caretes auriculars... (Fig. 53) Els fragments de cossos són especialment suggeridors, ja que es pot veure l'arrencament d'arcs vertebrals, dient-nos que els cossos s'han fusionat als arcs vertebrals (Schaefer *et al.*, 2009:98-106).

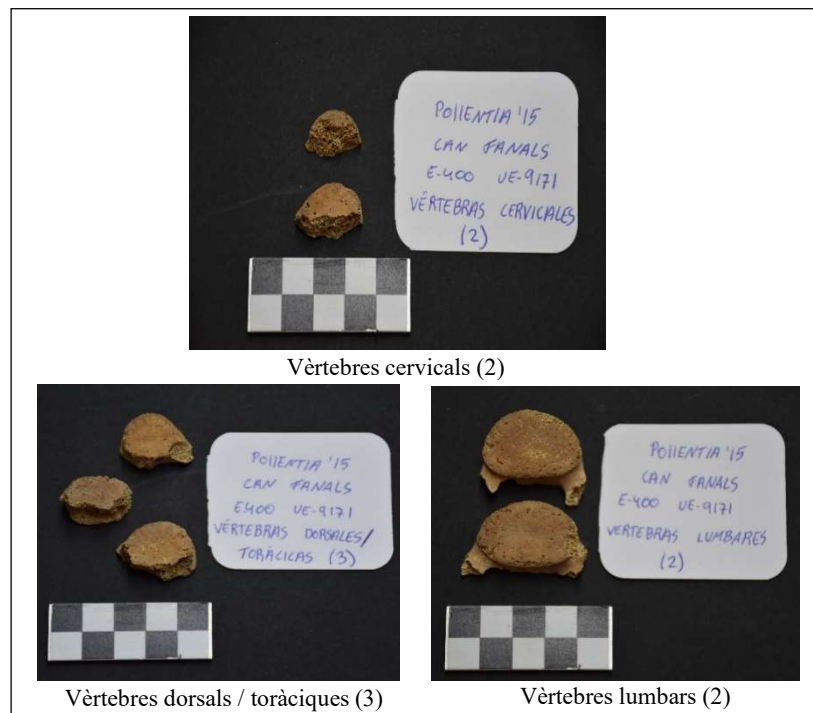


Figura 52: Fotografia de les vèrtebres conservades.

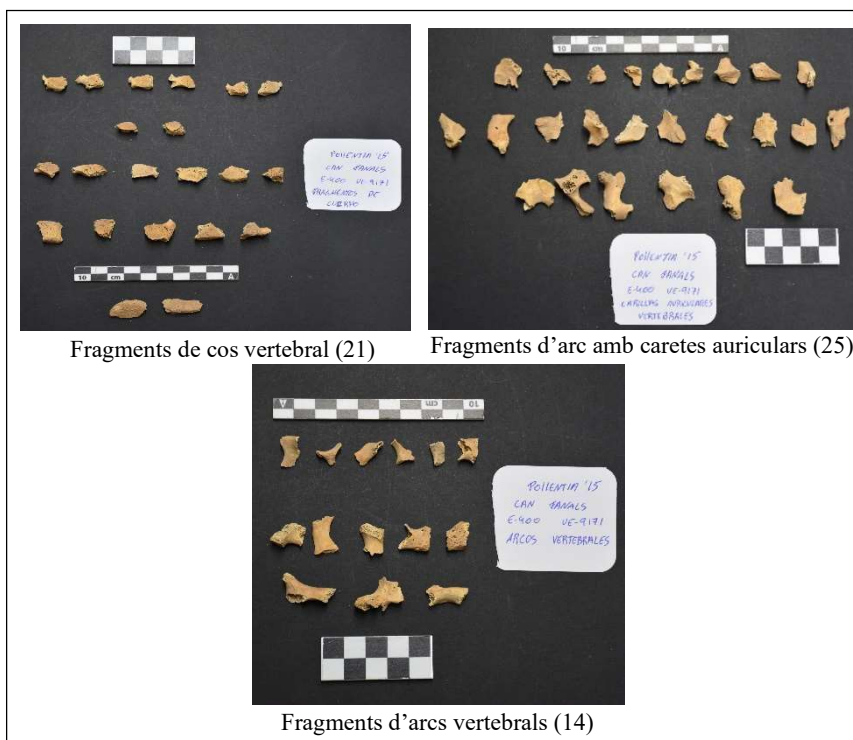


Figura 53: Fotografies dels fragments vertebrals conservats on s'especifica la seva tipologia.

En les cervicals, segons Mantilla (2018) i Schaeffer *et al.*, (2009), el cos vertebral s'hauria unit als arcs vertebrals entre els 3 i els 4 anys (Fig. 31) (Mantilla *et al.*, 2018:3; Schaefer *et al.*, 2009:341). Pel que fa les lumbar, segons Krenzer (2006), els arcs fusionen amb el cos cap als 6 anys d'edat (Krenzer 2006:41-42). No obstant, Schaeffer *et al.*, (Schaefer *et al.*, 2009:341) endarrerix aquest procés fins els 2-3 anys (Fig. 33). En els nostres exemples, és clarament visible com aquests s'han fusionat però s'han trencar després de la mort del individu. Per això, podem especular que com a mínim estariem davant un individu de 2-3 anys i com a màxim 6 anys.

Per finalitzar amb la columna, parlarem de os sacre (Fig. 54). Es troba conservat en quatre segments que conserven el seu cos de manera íntegra, a més, es troben completament ossificats. No obstant, els segments no estan fusionats, així com tampoc es conserven les projeccions dels diferents segments a causa de trencaments en els seus extrems. Així mateix, si es conserva l'arrencament de dites projeccions en la majoria d'exemples (Schaefer *et al.*, 2009:110-111). Val a dir que els elements laterals (costals) es troben fusionats al cos (centrum) en dos segments i són clarament visibles. No obstant, en els altres dos no es poden apreciar, potser a causa del trencament mencionat abans.



Figura 54: Fotografia del os sacre del individu UE 9171.

El procés de fusió dels cossos dels segments amb els elements laterals es troba avançat, fet que s'inicia als 2 anys i culmina cap els 6 anys (Fig. 35). Les mostres conservades ens farien intuir que l'individu UE 9171 està proper a l'edat de completar aquest procés (James 2016: 33).

En tercer lloc, analitzem el tòrax. Comencem per l'estern, del qual només roman el manubri (Fig. 55). Es troba molt arrodonit, de manera que les insercions claviculars i jugulars no s'han definit. A més, l'os es troba trencat en la seva inserció costal dreta. En la part anterior del manubri, aquest està trencat gairebé fins el centre, posant a la vista l'estructura interior del os. Pel que fa les costelles, trobem set exemples de diferents tipus (Fig. 56). No obstant, la majoria estan trencades en un dels seus extrems o en els dos (Schaefer *et al.*, 2009:124-126).

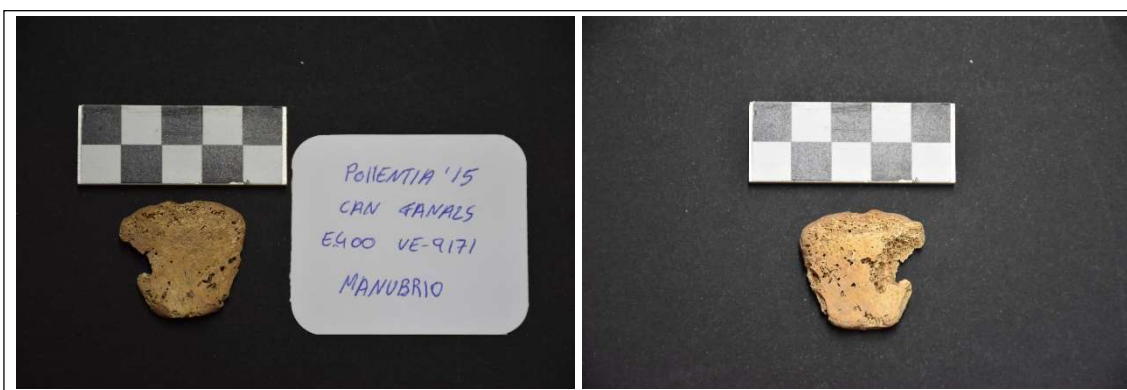


Figura 55: Fotografies del manubri del individu UE 9171, des d'un punt de vista anterior (esquerra) i posterior (dreta).



Figura 56: Fotografia de les costelles recuperades del individu UE 9171.

Continuant amb el tors, passem a veure la cintura pectoral. La clavícula dreta presenta dos trencaments en el cos i un petit trencament en l'extrem acromial, el qual evidencia les porositats interiors. La clavícula esquerra es troba en unes condicions força semblants a les del seu homòleg dret (Fig. 57). Observem dos trencaments en el cos de la clavícula, encara més evidents en aquest cas. A més, l'extremitat acromial es troba trencada de manera que es pot observar l'estructura interior del os. També es pot veure una diminuta fractura en l'extremitat esternal. Però, en cap dels dos casos la morfologia s'ha vist afectada ni l'os s'ha compromès.



Figura 57: Fotografies de les clavícules del individu UE 9171, clavícula dreta (imatge esquerra) i clavícula esquerra (imatge dreta).

Pel que fa les escàpules, conservem testimonis de les dues (Fig. 58). De l'escàpula dreta tenim un fragment format per la fossa glenoidea i l'acromion de l'espina, la resta del individu ha desaparegut. L'escàpula esquerra es conserva casi de manera íntegra. Destaquen tres trencaments,

els quals tot i ser evidents, no afecten a la integritat del os. Es localitzen en la meitat inferior dels límits exterior i interior del os, així com al costat superior (Schaefer *et al.*, 2009:151-153).



Figura 58: Fotografia de les escàpules del individu UE 9171, escàpula dreta (fotografia esquerra) i escàpula esquerra (fotografia dreta).

En la cintura pectoral drem a terme una estimació d'edat a partir de mesures realitzades als individus conservats:

En el cas de les clavícules, hem pogut mesurar ambdós exemples ja que es conserven de manera íntegra i les mesures són representatives. La clavícula dreta mesura un total de 89 mm, mentre que la clavícula esquerra mesura un total de 84 mm. Segons Black i Scheuer (1996) i la seva proposta (Fig. 59), l'individu UE 9171 tindria entre 5-8 anys (Schaeffer *et al.*, 2009:144).

Figura 59: Proposta mètrica de Black i Scheuer per determinar l'edat d'un individu en base a la mètrica de les **Black and Scheuer**

Dry Bone Postnatal Measurements-Clavicle			
Post-Natal Age	n	Max Length (mm)	
		Mean	Range
0-6 mths	11	44.4	38.8-54.5
7-12 mths	9	54.1	48.0-60.9
12-18 mths	11	59.5	54.3-66.0
19-24 mths	4	63.0	61.4-64.6
2-3 yrs	13	66.5	58.5-72.6
3-4 yrs	7	73.4	69.1-77.0
4-5 yrs	8	74.4	65.3-82.0
5-6 yrs	2	75.9	74.7-77.0
6-7 yrs	4	86.5	85.4-88.8
7-8 yrs	1	89.5	-
8-9 yrs	3	89.0	78.5-98.7
9-10 yrs	0	-	-
10-11 yrs	2	103.7	103.0-104.4
11-12 yrs	2	105.0	104.5-105.0
12-13 yrs	3	106.4	102.5-111.3
13-14 yrs	2	118.6	117.0-120.1
14-15 yrs	2	118.5	113.5-123.5
15-16 yrs	3	137.7	127.0-154.0

clavícules (Black i Scheuer 1996).

En el cas de les escàpules, només podem treballar l'esquerra, ja que de la dreta només roman un petit fragment (Fig. 60). Les mesures que tindrem en compte són: Altura de l'escàpula (79 mm) i amplada de l'escàpula (57 m). Prenent com a referència els valors proposats per Saunders *et al.*, (1993), l'individu UE 9171 tindria 4-5 anys (Schaeffer *et al.*, 2009:157).

Figura 60: Proposta mètrica de Saunders *et al.* per determinar l'edat d'un individu en base a la mètrica de les

Saunders et al.

Dry Bone Postnatal Measurements-Scapula						
Age	Scapula Length (mm)			Scapula Width (mm)		
	<i>n</i>	Mean	S.D.	<i>n</i>	Mean	S.D.
Birth-6 mths	10	39.3	4.1	7	31.1	1.9
6 mths-1 yr	15	49.2	4.2	16	37.0	3.4
1-2 yrs	19	60.4	4.9	19	43.3	3.1
2-3 yrs	10	67.8	7.5	8	59.8	27.8
3-4 yrs	5	63.9	33.1	5	56.0	6.2
4-5 yrs	3	81.0	4.6	3	56.8	3.3
5-6 yrs	3	91.7	10.0	3	61.8	7.0
6-7 yrs	6	97.3	5.9	7	66.1	3.2
7-8 yrs	1	94.0	-	2	63.3	2.8
8-9 yrs	1	117.0	-	1	82.5	-
9-10 yrs	2	120.0	6.0	2	77.3	0.3
10-11 yrs	1	121.0	-	2	87.3	2.8
11-12 yrs	1	121.0	-	1	82.0	-

escàpules (Saunders *et al.* 1993).

En cinquè lloc, els únics elements de les extremitats superiors que no es veuen representats en l'individu UE 9171, són les mans. En cap de les dues extremitats s'han pogut conservar ossos d'aquesta zona.

Per una banda, el braç esquerra conserva l'húmer, el radi i la ulna:

L'húmer es troba en un bon estat de conservació però localitzem una trencament en el seu extrem distal (Fig. 61)(Schaeffer *et al.*, 2009:166-170). En aquest, podem tenir en compte dos factors: l'epífisi proximal és present i no es troba fusionada a la diàfisi la qual tampoc presenta marques de fusió. Segons Krenzer (2006), aquest procés es dona a terme cap el sisè any de vida (Krenzer 2006:47-48).

En segon lloc, tot i haver perdut una petita part distal del os, les mesures ens ajudaran a entendre l'anàlisi de les epífisi. La mesura realitzada durant l'estudi del individu UE 9171, ens indica que l'húmer esquerra mesura 168 mm. Segons els paràmetres determinats per Maresh (1970), tindria una edat de 4-5 anys (Fig. 62)(Schaefer *et al.*, 2009:174).



Figura 61: Fotografies de l'húmer esquerra del individu UE 9171. Epífisi (imatge superior) i diàfisi (imatge inferior).

Maresh

Radiographic Postnatal Measurements-Humerus (mm)								
Age	Males			Percentile		Females		Percentile
	n	Mean	10th	90th	n	Mean	10th	90th
<i>Diaphyseal length</i>								
1.5 mths	59	72.4	65.7	77.5	69	71.8	67.7	76.2
3 mths	59	80.6	73.1	86.4	65	80.2	75.2	85.1
6 mths	67	88.4	82.6	94.8	78	86.8	79.9	91.6
1 yr	72	105.5	99.3	112.1	81	103.6	97.3	109.1
1.5 yrs	68	118.8	111.6	125.8	84	117.0	110.4	122.7
2 yrs	68	130.0	123.1	138.2	84	127.7	119.7	135.2
2.5 yrs	71	139.0	131.0	146.2	82	136.9	129.8	144.6
3 yrs	71	147.5	138.8	156.2	79	145.3	136.4	153.5
3.5 yrs	73	155.0	146.6	162.9	78	153.4	143.1	162.1
4 yrs	72	162.7	152.8	171.2	80	160.9	151.0	170.7
4.5 yrs	71	169.8	160.6	180.3	78	169.1	158.0	180.7
5 yrs	77	177.4	167.8	189.2	80	176.3	165.4	188.7
6 yrs	71	190.9	181.7	200.6	75	190.0	177.6	204.2
7 yrs	71	203.6	194.1	214.2	86	202.6	190.0	215.5
8 yrs	70	217.3	205.3	230.4	85	216.3	201.8	230.9
9 yrs	76	228.7	217.2	241.5	83	228.0	212.0	244.2
10 yrs	77	241.0	227.9	255.7	84	239.8	222.6	258.1
11 yrs	75	251.7	237.9	265.6	76	251.9	231.7	274.8
12 yrs	73	263.0	247.2	280.4	71	265.6	244.6	286.4
<i>Total length including epiphyses</i>								
10 yrs	76	258.3	244.3	272.1	83	256.1	237.2	276.1
11 yrs	75	270.0	254.8	285.1	76	269.6	248.8	292.5
12 yrs	76	282.0	265.8	298.9	75	287.5	263.8	313.6
13 yrs	69	296.6	277.0	315.6	69	301.0	277.4	324.3
14 yrs	69	313.3	291.1	335.0	64	311.7	290.1	335.3
15 yrs	60	329.0	306.4	349.7	57	315.6	293.9	336.8
16 yrs	60	341.0	322.4	361.7	40	316.5	290.3	342.9
17 yrs	50	347.1	328.6	365.6	18	315.4	292.2	333.7
18 yrs	28	350.6	333.0	372.8	4	-	-	-

Figura 62: Proposta de Maresh per determinar l'edat d'un individu en base a la mètrica del húmer (Maresh 1970).

Del radi, només s'ha conservat parcialment en un fragment (Fig. 63) que comprèn el cap proximal del os, fins a l'altura del foramen nutrici proximal (Schaefer *et al.*, 2009:187).



Figura 63: Fotografia del fragment (proximal) conservat del radi esquerra.

L'ulna presenta trencaments en els extrems proximals i distals (Fig 64). Tot i això, pot apreciar-se part de la base del cap i la forma de l'apòfisi coracoide és clara encara que estigui malmesa (Schaefer *et al.*, 2009:200-203).



Figura 64: Fotografia de la ulna esquerra.

Tot haver perdut una ínfima part de la potència proximal del os, les mesures resulten força representatives ja que conservem l'os casi de manera íntegra (Fig. 65). Maresh (1970) proposa una sèrie de mesures, les quals en el nostre cas (135 mm), coincidirien amb un individu de 4 anys (Schaefer *et al.*, 2009:207).

Maresh

Radiographic Postnatal Measurements-Ulnar Length (mm)								
Age (yrs)	Males		Percentile		Females		Percentile	
	n	Mean	10th	90th	n	Mean	10th	90th
<i>Diaphyseal length</i>								
1.5 mths	59	67.0	62.8	71.4	69	65.3	61.4	69.0
3 mths	59	73.8	69.4	78.0	65	71.2	67.0	75
6 mths	67	79.1	74.3	83.6	78	75.7	70.2	80.3
1yr	71	92.6	87.4	97.8	81	89.0	84.1	93.8
1.5 yrs	68	102.3	95.9	107.0	83	98.9	93.1	105.0
2 yrs	68	109.7	103.9	115.2	84	107.1	100.6	113.6
2.5 yrs	71	116.6	109.9	121.5	82	113.8	107.2	120.1
3 yrs	71	123.4	116.4	129.6	79	120.6	113.1	127.2
3.5 yrs	73	129.1	120.3	136.4	78	127.2	119.4	134.5
4 yrs	72	135.6	127.9	142.7	80	133.1	124.4	140.4
4.5 yrs	71	141.0	133.4	149.1	78	139.3	130.4	147.2
5 yrs	77	147.0	139.3	155.2	80	144.6	135.4	153.6
6 yrs	71	157.5	149.4	164.9	75	154.9	144.7	164.9
7 yrs	71	167.3	157.9	175.8	86	164.8	154.2	176.3
8 yrs	70	177.3	168.8	185.8	85	174.9	164.2	186.3
9 yrs	76	186.4	176.7	196.0	83	184.3	171.8	198.0
10 yrs	77	196.2	186.6	205.7	84	194.4	180.4	209.4
11 yrs	75	205.1	194.9	217.3	76	204.7	189.8	222.4
12 yrs	73	214.5	202.2	228.0	70	216.4	199.1	233.1
<i>Total length including epiphyses</i>								
10 yrs	76	202.2	191.8	212.8	83	203.8	187.8	221.0
11 yrs	75	213.3	201.5	225.5	76	215.5	198.5	233.6
12 yrs	77	224.9	210.3	239.3	75	229.7	210.3	249.2
13 yrs	73	237.9	221.3	254.8	70	240.0	221.7	257.6
14 yrs	75	252.3	234.7	271.0	65	248.1	232.3	265.0
15 yrs	61	265.1	250.0	284.3	57	251.0	235.8	268.2
16 yrs	61	274.8	260.2	292.6	40	252.3	237.1	269.8
17 yrs	50	279.4	263.9	293.0	17	250.2	232.8	268.4
18 yrs	28	281.6	266.9	300.8	4	-	-	-

Figura 65: Proposta de Maresh per determinar l'edat d'un individu en base a la mètrica de l'ulna (Maresh 1970).

Per altra banda, del braç dret només conservem el radi gairebé sencer (Fig. 66). Malauradament, està trencat en els seus extrems (Schaefer *et al.*, 2009:200-203). Tot i això, podem apreciar escasses restes d'ossificació en ambdós extrems. La mètrica resulta molt interessant ja que el trencament no afecta a la seva mesura (125 mm).



Figura 66: Fotografia del radi dret.

Segons Maresh (1970)(Fig. 67), ens trobaríem davant un individu de uns 4 anys (Schaefer *et al.*, 2009:191).

Maresh

Radiographic Postnatal Measurements-Radius (mm)								
Age	Males		Percentile		Females		Percentile	
	n	Mean	10th	90th	n	Mean	10th	90th
<i>Diaphyseal length</i>								
1.5 mths	59	59.7	55.3	64.0	69	57.8	54.4	61.3
3 mths	59	66.0	61.7	70.2	65	63.4	59.8	66.8
6 mths	67	70.8	66.1	75.5	78	67.6	63.7	71.5
1 yr	72	82.6	78.0	87.5	81	78.9	74.7	83.0
1.5 yrs	68	91.4	85.8	96.9	83	87.5	81.8	92.1
2 yrs	68	98.6	92.8	104.9	84	95.0	88.9	100.3
2.5 yrs	71	105.2	98.0	110.6	82	101.4	94.9	107.4
3 yrs	71	111.6	104.9	117.6	79	107.7	100.2	114.2
3.5 yrs	73	116.9	109.8	124.7	78	113.8	105.8	121.1
4 yrs	72	123.1	115.7	129.5	80	119.2	111.0	126.1
4.5 yrs	71	128.2	120.4	135.6	78	125.2	115.8	133.6
5 yrs	77	133.8	125.7	141.7	80	130.2	120.2	138.4
6 yrs	71	143.8	135.5	150.5	75	140.0	129.6	149.8
7 yrs	71	153.0	144.4	161.8	86	149.3	138.8	159.8
8 yrs	70	162.9	153.8	172.0	85	158.9	147.6	170.7
9 yrs	76	171.3	162.8	180.5	83	167.6	155.9	180.4
10 yrs	77	180.5	171.4	190.4	84	176.8	163.3	190.3
11 yrs	75	188.7	179.2	200.1	76	186.0	171.3	201.7
12 yrs	74	197.4	186.5	210.8	71	196.9	180.6	213.4
<i>Total length including epiphyses</i>								
10 yrs	76	193.0	183.1	201.5	83	189.3	173.9	204.4
11 yrs	75	202.6	192.6	213.9	76	200.0	182.4	218.4
12 yrs	77	212.3	200.6	226.1	75	213.5	192.3	232.3
13 yrs	73	223.7	209.4	239.5	69	223.6	205.3	239.8
14 yrs	75	236.9	221.0	255.4	64	231.4	215.1	245.7
15 yrs	61	248.7	233.1	267.4	57	234.5	218.8	249.0
16 yrs	61	257.7	243.1	274.4	40	235.0	219.2	249.5
17 yrs	50	261.8	247.8	274.1	18	233.8	219.5	253.3
18 yrs	28	263.2	250.2	278.6	4	-	-	-

Figura 67: Proposta de Maresh per determinar l'edat d'un individu en base a la mètrica del radi (Maresh 1970).

En sisè lloc, conservem les tres parts que componen la pelvis dreta s'han conservat (Fig. 68): L'isqui es troba en un estat de conservació excepcional, completament ossificat i sense trencaments ni fractures a destacar. En contraposició, el ili si es troba força malmès, presenta un trencament en tots els seus costats, només conservant-se part del cos i de l'acetàbul. El pubis, es troba ben conservat en l'extrem de la sínfisi. És clarament apreciable el procés d'ossificació en aquest límit. Així mateix, l'extrem del acetàbul està trencat (Schaefer *et al.*, 2009:230-232).



Figura 68: Fotografia de la pelvis dreta.

Si tractem d'estimar una edat a partir dels elements conservats en aquesta regió, l'isqui i el pubis ens resulten elements interessants. Aquests dos es fusionen cap als 7-8 anys, procés que no s'ha dut a terme. Per això, entenem que la seva edat ha de ser inferior a aquest rang (James 2016:33).

Pel que fa als membres inferiors, l'extremitat inferior més completa, és l'esquerra. El fèmur es troba en un bon estat de conservació (Fig. 69) però està trencat en la seva part distal i medial del os. S'han conservat les epífisi proximal i distal, a més, han iniciat l'ossificació però ni tan sols han iniciat el procés de fusió. Ambdues epífisi es troben clarament separades de la diàfisi però, per sort, es van recuperar en els treballs d'excavació.

La mètrica, de la mà de Maresch (1970), ens pot proporcionar una estimació en l'edat del individu UE 9171 a partir d'aquest os (Fig. 70). Amb una longitud de 229 mm, parlariem d'una edat aproximada als 4-5 anys (Schaeffer *et al.*, 2009:267)



Figura 69: Fotografies del fèmur esquerra del individu UE 9171. Diàfisi (imatge dreta), epífisi proximal (imatge superior esquerra) i diàfisi distal (imatge inferior esquerra).

Maresh

Radiographic Postnatal Measurements-Femoral Length (mm)								
Age (yrs)	Males		Percentile		Females		Percentile	
	n	Mean	10th	90th	n	Mean	10th	90th
<i>Diaphyseal length</i>								
1.5 mths	59	86.0	79.4	92.7	68	87.2	81.3	91.8
3 mths	59	100.7	94.1	107.4	65	100.8	95.6	105.8
6 mths	67	112.2	104.5	118.2	78	111.1	105.2	116.6
1 yr	72	136.6	129.4	143.0	81	134.6	128.0	139.6
1.5 yrs	68	155.4	146.6	163.3	84	153.9	145.2	163.6
2 yrs	68	172.4	164.3	181.1	84	170.8	161.9	180.8
2.5 yrs	72	187.2	178.0	196.5	82	185.2	175.3	196.9
3 yrs	71	200.3	190.9	211.6	79	198.4	187.5	211.4
3.5 yrs	73	212.1	200.2	226.0	78	211.1	198.8	225.3
4 yrs	72	224.1	213.8	237.2	80	223.2	209.7	238.4
4.5 yrs	71	235.7	225.0	250.3	78	235.5	218.9	250.7
5 yrs	77	247.5	236.0	263.4	80	247.0	233.4	261.6
6 yrs	71	269.7	256.5	288.2	75	268.9	252.1	287.8
7 yrs	71	291.1	274.8	308.2	86	288.8	273.0	308.0
8 yrs	70	312.1	293.7	331.2	85	309.8	289.5	331.0
9 yrs	76	330.4	312.8	349.2	83	328.7	305.1	351.8
10 yrs	77	349.3	330.6	371.6	84	347.9	324.2	373.6
11 yrs	75	367.0	348.9	389.8	76	367.0	338.6	402.0
12 yrs	74	386.1	364.1	409.8	71	387.6	359.2	416.2
<i>Total length including epiphyses</i>								
10 yrs	76	385.1	364.9	407.1	83	382.8	355.1	412.3
11 yrs	75	405.2	383.5	430.0	76	403.5	374.2	438.6
12 yrs	77	425.6	400.1	451.3	74	427.9	393.1	461.8
13 yrs	73	447.4	418.0	475.0	69	447.2	415.1	479.3
14 yrs	75	470.8	437.4	499.1	64	459.9	426.5	487.4
15 yrs	61	489.0	456.0	522.0	57	464.4	434.6	493.2
16 yrs	60	502.8	475.4	536.7	40	466.7	435.8	500.2
17 yrs	50	508.9	483.0	541.0	18	462.9	432.0	504.6
18 yrs	28	511.7	485.7	548.3	4	-	-	-

Figura 70: Proposta mètrica de Maresh per determinar l'edat d'un individu en base a la mètrica de l'ulna (Maresh 1970).

La tibia està trencada en la seva part proximal, medial i distal (Fig. 71). Malauradament, no ens pot aportar gran informació.



Figura 71: Fotografia de la tibia esquerra.

Per acabar amb l'extremitat esquerra, parlarem de la fibula (Fig. 72): l'extrem proximal presenta un bon estat de conservació però està trencat en la part medial, a més, ha perdut el límit del extrem distal.

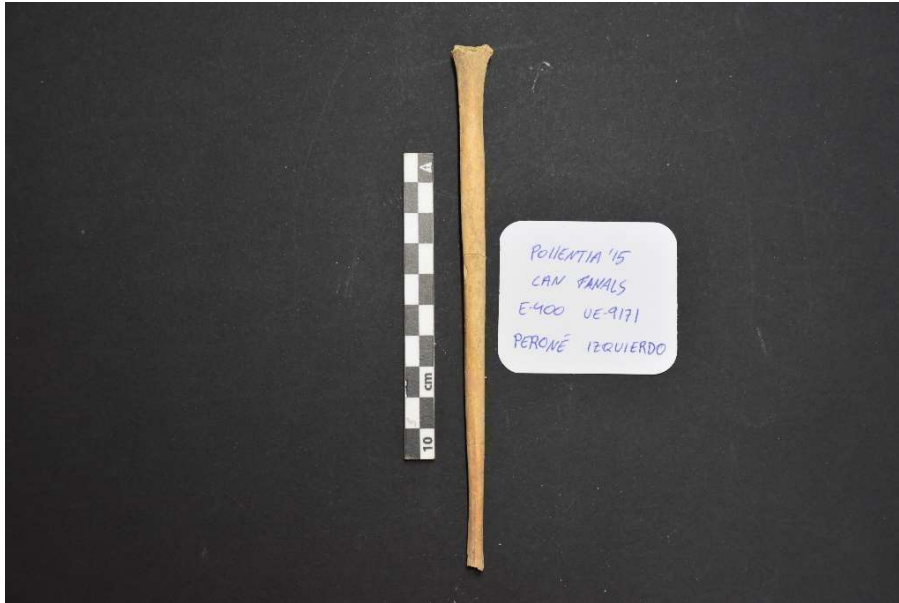


Figura 72: Fotografia de la fibula esquerra.

Pel que fa el peu esquerra, podem analitzar (Fig. 73): l'astràgal o taba i dos ossos metatarsos. L'astràgal, es troba molt ben conservat i completament ossificat. Pel que fa els metatarsos, es troben completament ossificats i bastant desenvolupats.



Figura 73: Fotografies de les unitats anatòmiques conservades del peu esquerra. Astràgal o taba (imatge esquerra) i metatarsos (imatge dreta).

L'extremitat dreta ha conservat menys restes. La fibula ha conservat tot el cos del os i l'extrem proximal, el qual està completament ossificat, però extrem distal s'ha perdut a causa d'un trencament (Fig. 74).

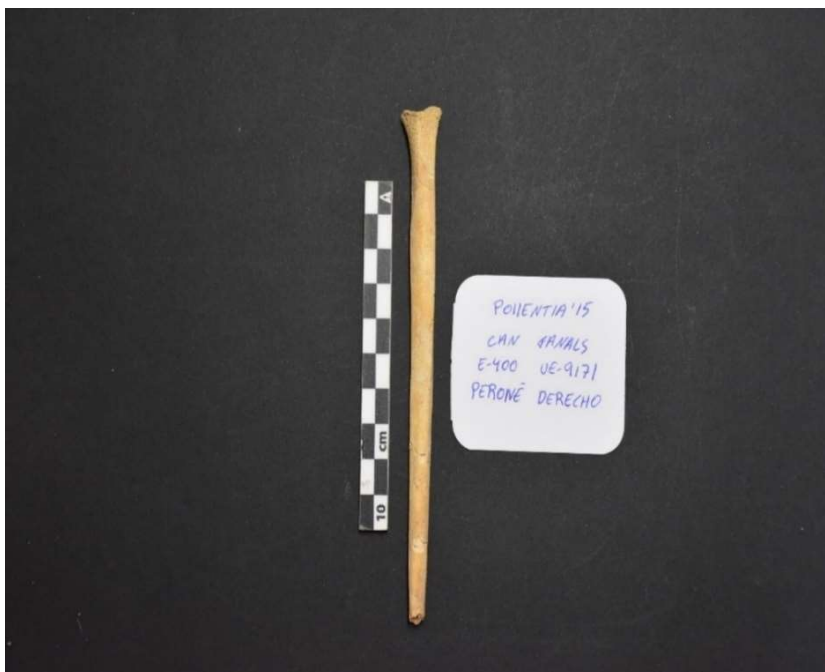


Figura 74: Fotografia de la fibula dreta.

Pel que fa el peu dret, conservem l'astràgal i el calcani (Fig. 75). La taba es troba completament ossificada amb un estat de conservació excepcional i el calcani està fracturat en els extrems proximals i distals.



Figura 75: Fotografia del astràgal i el calcani drets.

Com hem fet amb l'individu UE 8492, hem parlat de trencaments i fractures però hem de remarcar que s'han realitzat *post-mortem*. Esdevenint un testimoni d'afectacions tafonòmiques, com seria l'arrel que creua tota la sepultura en la que es troba continguda l'individu (Fig. 48). No s'han trobat signes *ante-mortem* de violència o traumatismes ni es reflecteixen en l'esquelet malalties o infeccions: les porositats, les línies de Harris o les malformacions òssies brillen per la seva absència.

Atenent al perfil biològic, sabem que treballem amb un individu subadult d'uns 5-6 anys de vida que va morir per causes naturals. Hi ha força malalties o patologies que poden acabar amb la vida del individu sense deixar empremses o testimonis en el seu esquelet, com les infeccions, a causa de la rapidesa amb la que es provoca la mort. Pel que fa el dimorfisme sexual, com hem vist amb l'individu UE 8492, en infants és difícil d'esbrinar. Certament, les restes conservades en l'individu UE 9171 són més nombroses, però no permeten determinar un resultat definitiu.

Per una banda, els caràcters sexuals secundaris pertanyents a la regió del crani no es poden analitzar ja que no es conserven (Fig. 76). No obstant, tenim la sort de poder estudiar la mandíbula, ja que es troba ben conservada.

Segons Krenzer (2006), el mentó és pronunciat i quadrangular en els nens, així com l'arc dental anterior és més ample i els alvèols mandibulars dels canins sobresurten respecte les nenes. A més, el gonion dels individus femenins és suau i no es pronuncia mentre que en els nens sobresurt esdevenint prominent. Finalment, la branca mandibular és més ampla i llarga en homes, a més, els processos coronoides estan més desenvolupats. La mandíbula masculina esdevé més robusta en contraposició al seu homòleg femení, la qual presenta unes faccions més dissimulades (Fig. 77)(Krenzer 2006:4-9).

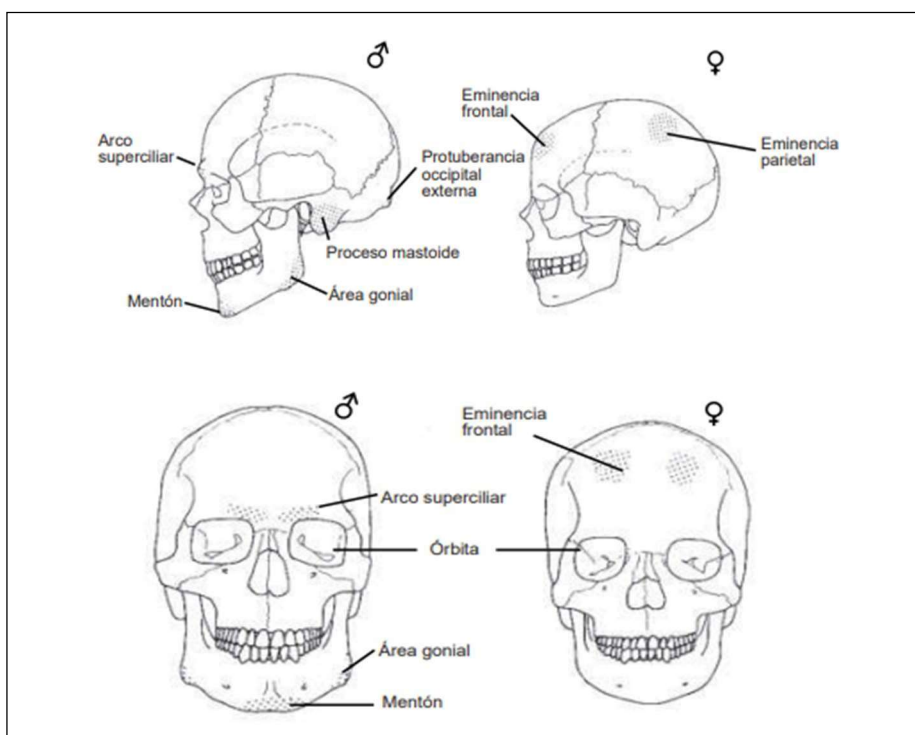


Figura 76: Il·lustracions en les que es representen els caràcter sexuals secundaris del crani (Krenzer 2006:7).

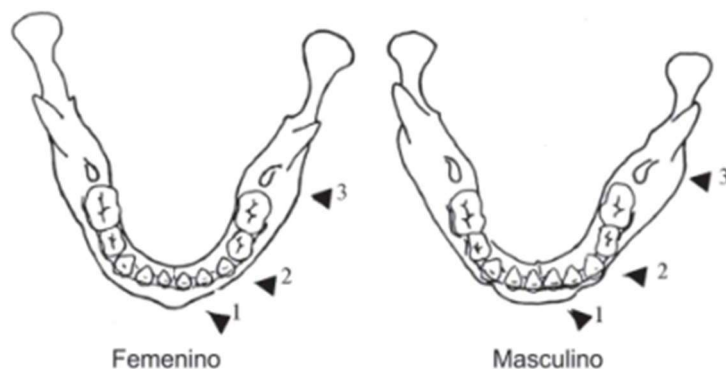


Figura 77: Il·lustració en la que es representen els indicadors de dimorfisme sexual en la mandíbula (Krenzer 2006:4).

Considerem, que aquests caràcters fisiològics del individu UE 9171 coincideixen amb un individu femení. No obstant, no resulten suficients per extreure una conclusió definitiva.

Si analitzem l'esquelet post-cranial ens hem de fixar en la pelvis, de la qual conservem les tres parts que conformen la cintura pèlvica esquerra. S'han desenvolupat diferents metodologies, focalitzant l'anàlisi d'àrees concretes dels individus que conformen la pelvis:

Washburn (1948) proposa una estimació de l'edat a partir del angle sub-púbic, descrivint l'allargament del cos i la branca púbica en direcció medio-lateral. D'aquesta manera, l'amplitud del angle sub-púbic serà més obert (pelvis femenines) o més tancat (pelvis masculines) en funció del sexe (Fig. 78)(Estévez 2018:88).

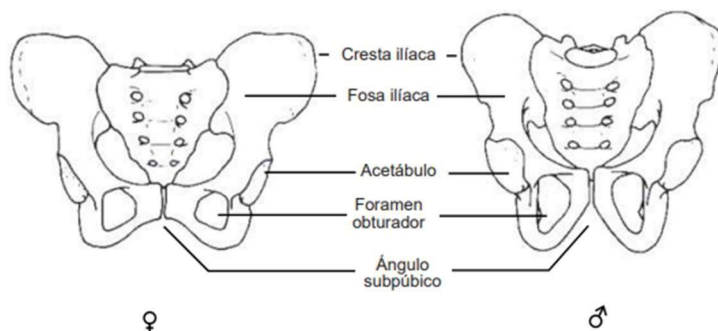


Figura 78: Il·lustració en la que es representa la pelvis dependent del sexe (Krenzer 2006:11).

Phenice (1969), desenvolupa una metodologia en funció de tres criteris. En primer lloc, si l'arc ventral del pubis és present (femení) o no (masculí); en segon lloc, si la concavitat subpúbica és present (femení) o no (masculí); en tercer lloc, si l'aspecte medial de la branca isquiopúbica és present (femení) o no (masculí) (Fig. 79)(Estévez 2018:89).

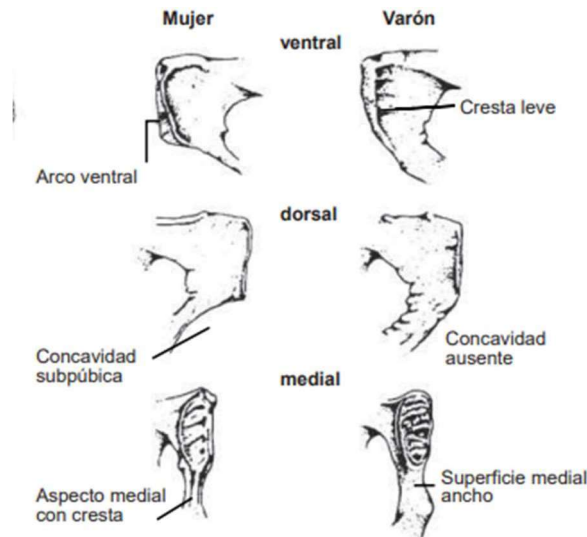


Figura 79: Il·lustració en la que es representen diferents zones del pubis (Krenzer 2006:16).

Buikstra i Ubelaker (1994) desenvolupen la seva hipòtesi de dimorfisme sexual centrant-se en l'escotadura ciàtica, la qual sol ser més ampla en individus femenins (Fig. 80)(Estévez 2018:91).

Krenzer (2006) afirma que els individus femenins solen presentar una cresta ilíaca més fina i sinuosa en contraposició als masculins que presenten una cresta més ampla i robusta (Fig. 80) (Krenzer 2006:4). Així mateix, val la pena remarcar que aquests marcadors es podran analitzar amb un major grau de fiabilitat entre els 9-12 anys de vida (Lewis 2007:51-54).

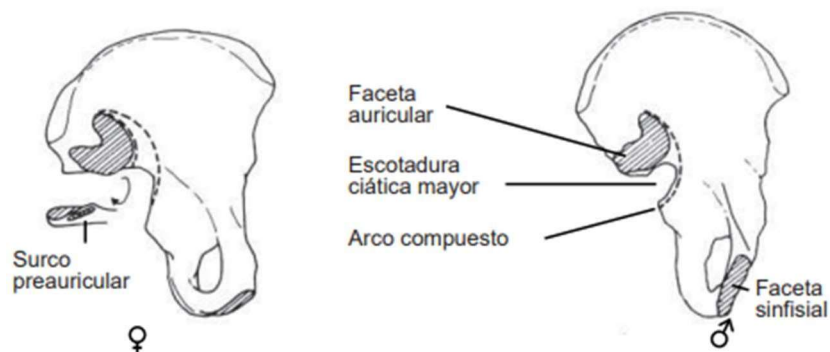


Figura 80: Il·lustració en la que s'indiquen diferents àrees de la pelvis (Krenzer 2006:12).

Malauradament, no podem posar en pràctica cap de les metodologies explicades als paràgrafs anteriors, degut a lo fragmentada que es troba la pelvis. Val a dir que si poguéssim posar en pràctiques dites metodologies, hauríem de tenir en compte que es tracta d'un individu que encara no ha complit els 9 anys. D'aquesta manera, hauríem de ser cautelosos a l'hora de plantejar la nostra hipòtesi.

5. La cultura material lligada a la infància documentada a *Pollentia*

La cultura material del món infantil s'associa principalment al oci i al ritual, en aquest sentit, *Pollentia* presenta alguns testimonis que poden resultar interessants i poden relacionar-se amb aquesta etapa:

En línies generals, els materials apareguts en les sepultures resulta molt genèric, generalment es compona per claus de ferro, elements ceràmics i alguns vidres. Només en el cas del individu UE 9171, hi trobem dispers en el rebliment (UE9167) de l'enterrament (E-400) fragments de ceràmica de parets fines, d'àmfora i de ceràmica de cuina.

Les produccions ceràmiques ens poden resultar interessants, trobem elements ceràmics de totes les tipologies: gerres i gerretes, plats, llànties, etc. Algunes formes de ceràmiques de parets fines, com per exemple, la forma Mayet III i Mayet XXIV, documentades a diferents sectors de la ciutat, han estat relacionades amb un ús lúdic a mode de joguines (Reinoso del Rio 2003:106).

Val la pena fixar-se en dues figures zoomorfes d'argila documentades a la ciutat que podrien ser interpretades com a joguines (López 2014:81; Allison 2018:166-167). Un èquid amb un alt grau de detallisme, en el que es representen els trets principals que el caracteritzen: una forma clara en base a un cos i una muntura sobre aquest, quatre extremitats i un coll allargat amb crin (Fig. 81).



Figura 81: Fotografies de la figureta zoomorfa en la que es representa un èquid, exposada al Museu Monogràfic de *Pollentia*. Font: Fotografia pròpia

Un fasiànid el qual es troba molt arrodonit i ha perdut gran part dels detalls. Sobretot pel que fa el cap, no obstant, la seva forma és clara (Fig. 82).

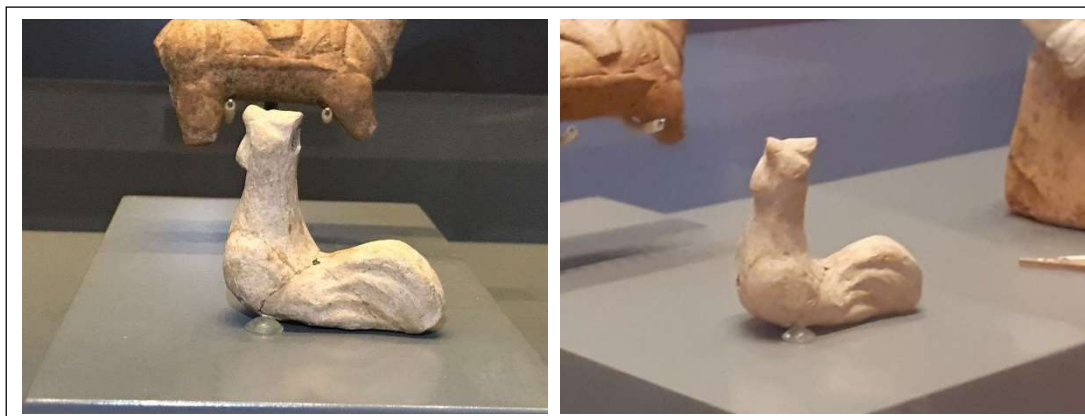


Figura 82: Fotografies de la figueta zoomorfa en la que es representa un fasiànid, exposada al Museu Monogràfic de *Pollentia*. Font: Fotografia pròpia

Una troballa relativament comuna a *Pollentia* és la documentació de daus (Fig. 83). S'han trobat nombrosos daus en suport d'os, a més, de diversos cubells (Garcia i Gregorio 2014:85-87).

Un altra dels objectes documentat a les excavacions relacionat tradicionalment amb el món subadult, són un seguit de fragments plans i arrodonits de ceràmica en els que apareix una representació figurada. El conjunt dels fragments forma un peix, com si es tractés d'una mena de trencaclosques (Fig. 84).

Finalment, podem parlar de la troballa excepcional d'un objecte d'orfebreria a mode d'amulet associat a la infància femenina, una *lúnula* (vegeu apartat 2.6). Un penjoll d'or en forma de mitja lluna amb una anella de suspensió central i dues bolletes de terminació a cada extrem (Fig. 85).



Figura 83: Fotografies de tres daus fets en os i un cubell de parets fines, exposada al Museu Monogràfic de *Pollentia*. Font: Fotografia pròpia.



Figura 84: Fotografia dels fragments ceràmics (10) en els que es representa un peix a mode de trencaclosques, exposada al Museu Monogràfic de *Pollentia*. Font: Fotografia pròpia



Figura 85: Fotografia de la *lunula* documentada a *Pollentia*, exposada al Museu de Mallorca. *Red Digital de Colecciones de Museos de España* (Nº Inv.:21460).

6. Discussió dels resultats

L'individu UE 8492 es tracta d'un enterrament de fossa simple (E-338) orientat cap el nord al igual que la resta d'assentaments apareguts a la zona. No obstant, és l'única d'època romana ja que totes les demés són posteriors al segle X. A més, és l'únic individu infantil documentat a aquesta zona.

Pel que fa l'individu UE 9171, es tracta d'un enterrament en fossa i coberta de lloses de marès amb orientació oest-est en la que distingim dos individus infantils (UE 9171 i UE 9193). És l'única sepultura infantil descoberta recentment, però a les excavacions del 1950 es van documentar 9 enterraments infantils més de característiques semblants però amb un sol individu en el seu interior. Criden l'atenció que la majoria d'aquestes inhumacions no presenten una orientació regular ja que un individu té el crani orientat en direcció est, dos en direcció nord i

nord-est respectivament, un direcció sud i tres no es van poder definir pogut definir degut al mal estat de la inhumació. L'aixovar associat als enterraments esdevé gerretes de ceràmica i alguna llàntia.

Tal com hem vist, els dos individus objecte d'aquest estudi no coincideixen en l'estructura del enterrament, en la orientació, en l'aixovar associat ni amb la seva cronologia. Si que cal destacar que en ambdós contextos els individus infantils no presenten patologies i són enterrats juntament amb individus adults, encara que la inhumació de l'individu (UE 8492) no és sincrònica amb la resta de enterraments que són clarament posteriors. En el cas de l'individu UE 9171 sembla que va ser enterrat al costat d'altres individus adults probablement de la mateixa cronologia que presenten unes característiques semblants de manera que comparteixen espai i tractament.

Segons Sevilla (2011), la convivència entre enterraments adults i infantils és un fet documentat en altres zones de la península ibèrica. Segons aquesta autora, els enterraments adults i infantils a més de compartir espai no presentarien grans diferències tipològiques.

La inhumació seria el ritual predominant en els infants de l'antiguitat i la tardoantiguitat (Sevilla 2011:206), fet que constatem a *Pollentia*, ja que no documentem cap cremació pertanyent a un individu infantil. A més, crida l'atenció l'escàs nombre d'enterraments infantils que es documenten a les necròpolis en relació als individus adults, atenen a l'alta mortalitat infantil de l'època.

Cal remarcar que a *Pollentia* no trobem testimonis d'enterraments domèstics ni àrees diferenciades o específiques de necròpolis infantils, tal com se han documentat a diferents zones de la península ibèrica, com per exemple, a la colònia *Celsa* on es localitzaren 36 enterraments infantils en diversos habitatges i a *Bibilis* on dos enterraments infantils, una cremació i una inhumació van aparèixer en diferents habitacions d'una mateixa *domus* (s. I-II dC) (Sevilla 2011:202).

A *Pollentia* tampoc documentem enterraments en àmfora, ni en *tegulae* o *imbrex*, fet que documentem a altres zones de la Mediterrània. Segons Carroll (2001) a la península itàlica els infants eren generalment inhumats en àmfores o en fosses, les quals podien estar cobertes mitjançant lloses o teules o a mode de cista. En el cas de la península ibèrica també són nombrosos aquest tipus d'enterraments, com per exemple el documentat la Plaça de la Vila de Madrid a Barcelona (Fig. 86) on es va localitzar un individu subadult de 1-2 anys d'edat dins una àmfora africana (s. II-III dC) o l'enterrament estructurat en base a un *imbrex* aparegut a la necròpolis de la Porta Occidental de *Caesaraugusta* (s. III dC)(Sevilla 2011:207; Beltrán 2007:30). Altres exemples d'aquest tipus de sepultures en *tegulae*, els trobem a necròpolis de la Ballesta a Empúries (II-III dC)(Sevilla 2011: 208).



Figura 86: Fotografia d'un enterrament infantil en àmfora. Font: Beltrán 2007:30.

Pel que fa als restes de cultura material relacionada amb el món infantil, a *Pollentia* documentem la figura d'un èquid i un fasiànid (Fig. 81 i 82), aquestes troballes són relativament comunes en el context arqueològic de les cronologies que treballem. Parlem d'elles com joguines o figuretes simbòliques relacionades amb el món infantil. Documentem exemples a diversos llocs de la península ibèrica: Cadis, Còrdova, Mèrida, etc. La seva presència també es documentada a altres llocs del món romà (Vaquerizo 2004:333-336)(Fig. 87).



Figura 87: Fotografies de figuretes d'argila en forma de fasiànid, procedents de la col·lecció en línia del Museu de Salzburg.

Les figures d'èquids també són comunes en el registre arqueològic (Fig. 88), així com la figura d'un nin acompanyat altres animals. Se'ns indica la importància dels animals en el món infantil i la gran varietat de representacions zoomorfes que es poden trobar (Fig. 89).



Figura 88: Fotografia d'una figureta d'argila en forma de cavall (Nº inventari: GP8681-49), procedent de la col·lecció en línia del Museu de Salzburg.



Figura 89: Fotografies d'unes figuretes d'argila en la que apareix un nen primer acompanyat d'un cavall (esquerra) i llavors per una cabra (dreta), procedent de la col·lecció en línia del Museu de Salzburg.

A la col·lecció del *British Museum* trobem dues figuretes recuperades a Godmanchester, al comtat de Cambridgeshire (Fig. 90). Es documenten en un enterrament infantil cremat i depositat en una urna datat cap el segle II dC, juntament amb altres elements com tres olles i elements d'orfebreria (Taylor 1997:386).

Segons Taylor (1997), les figuretes tenen un sentit ritual, encara que planteja la idea que haurien tingut una funció primària a mode de joguines. La troballa d'aquestes figures no és l'única documentada a Cambridgeshire, a Arrington es documenten diverses figures associades a un individu infantil que no ha superat l'any de vida. Destaquen dues figures humanes i dues figures animals de les quals una representa una ovella i una figura zoomorfa indeterminada (Taylor, A., 1993:191-200).



Figura 90: Fotografies d'unes figuretes d'argila en la que apareix un nen primer un cavall (esquerra) i llavors un bou (dreta), procedent de la col·lecció en línia del *British Museum*.

Al fons de la col·lecció, també hi ha la sort d'haver diversos exemples de les comentades *bullae*. Malauradament, no tenim l'explicació del context de la troballa. Per això, només posem un exemple.

Parlem d'una *bullae*, documentada a Hongria datada cap el segle II dC que es componia per dues plaques d'or rodones, convexes. La superior presenta una sèrie de dents que actuen a mode de tancament amb la placa inferior. En la part superior es presenta una projecció dels discos que forma un orifici, permetent la suspensió mitjançant una cadena o corda d'or (Fig. 91).



Figura 91: Fotografia d'una bulla d'or, procedent de la col·lecció en línia del *British Museum* (Nº Inv.:18600609.2).

Finalment, veurem un testimoni d'un jaciment que ja hem vist. Un dau d'os tallat, polit i incís procedent de *Bibilis* (I-II dC)(Fig. 92). De fet, aquestes troballes són molt comunes ja que és un objecte molt recurrent en l'oci del moment.



Figura 92: Fotografia d'un dau documentat a Bibilis, exposat al *Museo de Calatayud*. *Red Digital de Colecciones de Museos de España* (Nº Inv.: 00731).

7. Consideracions finals

En el present treball hem realitzat un estudi bioarqueològic de dos individus subadults provinents de la ciutat romana de *Pollentia*, concretament de les necròpolis de Ca'n Fanals (UE 9171) i de la capella de Santa Ana (UE 8492).

Partint d'aquesta base, hem realitzat una aproximació a la infància en l'antiguitat i la tardoantiguitat romana, entesa com un procés sociocultural i biològic. D'aquesta manera, l'individu compliria i duria a terme una sèrie de tasques i aprenentatges per incorporar-se a la societat romana en la mesura que creix i es desenvolupa a nivell anatòmic.

Parlaríem de dos *infans* que haurien viscut una vida d'oci sense participar de manera activa en la societat, fins a la seva primerenca mort per causes naturals, en un ambient eminentment femení al cuidat de la seva mare o tutora. No haurien viscut temps suficient per viure la *pueritia*, tot i que segons l'estudi antropològic del individu UE 9171, aquest estaria propera aquesta data ja que tindria una edat aproximada de 5-6 anys. L'individu UE 8492 estaria en plena *infantia* atenent als 2-3 anys de vida que tindria. Com hem vist, fins aquest moment no hi ha grans distincions de gènere. Malauradament, al no haver pogut esclarir el dimorfisme sexuals dels dos individus, no podem discriminar quin hauria estat el seu rol en la societat si haguessin viscut més temps. A partir de les dades actuals, sembla que l'individu UE 9171 amb una cronologia a cavall entre el segle V i VI dC hauria estat enterrat al costat d'altres membres de la mateixa comunitat a diferència de l'individu UE 8492 datat entre finals del segle I aC i segle II dC que molt probablement va ser enterrat aïllat en una zona fora de les muralles de la ciutat.

Pel que fa l'estudi de les restes arqueològiques, en els enterraments subadults continguts a *Pollentia* no observem un patró clar i unes característiques definides en quant a l'orientació i posició de les restes. Si bé és cert, trobem una predominança de les inhumacions respecte les

cremacions, ja que no tenim cap exemple de les darreres. Aprofundint en aquest tret, les inhumacions associades als individus infantils es fonamenten en: enterraments en fossa simple sense coberta (individu UE 8492), esdevenint els majoritaris; enterraments amb coberta, sent minoritaris (individu UE 9171); finalment enterraments en cista, esdevenint gairebé residuals.

Les àrees de necròpolis es troben disperses en diferents àrees generalment localitzades a les afores de la ciutat romana, fet que podria indicar-nos el seu límit. En el cas de l'individu UE 9171 se situa a una necròpolis localitzada a un suburbi de la ciutat a on es va construir una possible basílica cristiana. En el cas de l'individu UE 8492 sembla que es va enterrar de manera aïllada fora de les muralles de la ciutat. En el cas de les necròpolis a on han aparegut enterrats conjuntament individus adults i subadults no hi ha distinció ja que comparteixen espai i tipus d'enterrament.

Hem distingit una sèrie d'elements de cultura material associats a la *infantia* i hem vist com són presents a *Pollentia*. De fet, com en els enterraments, hem establert paral·lelismes i hem vist com aquests són presents en altres indrets.

Tal com s'ha dit a l'inici aquest estudi s'ha de entendre com una aproximació a al món infantil durant l'Antiguitat a la ciutat *Pollentia* i com una oportunitat per introduir a l'autor a l'antropologia física, a més de confirmar i augmentar l'interès que aquest té per dita àrea d'estudi. No obstant, som conscient de la necessitat en un futur d'estudiar i treballar més enterraments d'individus subadults, les seves restes i els elements que se li associen, encara que aquest fet resulta complicat per la seva baixa representació en els contextos funeraris. A més, podria resultar interessant aprofundir en la qüestió del dimorfisme sexual, ja que existeixen una sèrie de principis en quant a les diferències sexuals i de gènere, a nivell biològic i sociocultural, que no han pogut ser aplicats a les restes òssies treballades.

En qualsevol cas, aquest treball s'ha desenvolupat en dos vessants. Per una banda, una recerca bibliogràfica en diverses fonts i recursos, en la que també s'hi veu representada la consulta col·leccions de diferents museus. Per altra banda, un treball pràctic en el que s'han treballat les restes de dos individus. De fet, com succeeix amb les seves restes arqueològiques, els individus infantils es troben molt poc representats i estudiats en l'antropologia física. Fet que sorprèn tenint en compte que tots els individus passen per aquesta fase, però ho expliquem atenent al fet que els individus protagonistes a les diferents societats i cultures són els adults i no pas els subadults.

8. Bibliografia

- Allison, P., 2018, Roman Household organization a S. Crawford, D. M. Hadley i Shepherd G. (eds.), *The Oxford Handbook archaeology of childhood*. Oxford University Press, Oxford, 165-178.
- Almagro, M., Amorós, L., 1953, Excavaciones en la necrópolis romana de can Fanals de Pollentia (Alcudia, Mallorca). *Empúries: revista de món clàssic i antiguitat tardana* 15, 237-275.
- Arribas, A. Tarrandell, M. Woods, D.E., 1973, *Pollentia: I. Excavaciones en Sa Portella Alcudia (Mallorca)*. Servicio de Publicaciones del Ministerio de Educación y Ciencia Secretaria General Técnica, Madrid.
- Baker, B., J., Dupras, T., L., Tocheri, M., W., 2005, *The osteology of Infants and Children*. Texas A & M University Press, College Station.
- Beltrán, J., 2007, La via sepulchralis de la plaza vila de Madrid. Un ejemplo del ritual funerario durante el alto imperio en la necrópolis occidental de Barcino. *Quarhis: Quaderns d'Arqueologia i Història de la ciutat de Barcelona* 3, 12-63.
- Black, S.M., Scheuer, J.L., 1996, Age changes in the clavicle: From the early neonatal period to skeletal maturity. *International Journal of Osteoarchaeology* 6: 425-434.
- Buikstra, J. E., Ubelaker, D., 1994, *Standards for data collection from human skeletal remains Proceedings of a seminar at the Field Museum of Natural History*. Arkansas archeological survey, Fayetteville.
- Cardona, F., 2009, Resultados del estudio antropológico de la necrópolis del foro de Pollentia. (Alcudia, Mallorca). Campañas 2004-2008. *Cuadernos de Prehistoria y Arqueología de la Universidad de Granada* 19, 429-447.
- Cardona, F., Mas Florit, C., Cau, M.A., Chávez, M^a. E., 2015, Excavaciones en la necrópolis de Can Fanals de Pollentia (Campaña 2015) a Cau, M., A., Chávez, M^a, E., (eds.), *Excavaciones arqueológicas en Pollentia (Alcudia, Mallorca) Campaña 2015*, 253-320.
- Cardona, F., Munar, S. Orfila, M., Arribas, A., 2013, Estudio de los materiales procedentes de la necrópolis alto imperial de can Corró o del matadero, de pollentia (Alcudia, Mallorca) a Riera, M., Cardell, J., (eds.), *V Jornades d'arqueologia de les Illes Balears*. Edicions Documenta Balear, Palma, 127-135.
- Carroll, M., 2011, Infant Death and Burial in Roman Italy, *Journal of Roman Archaeology* 24, 99-120.
- A. Castellano Hernández, 1997, Joyas romanas de Pollentia (Alcudia, Mallorca) en el Museo Arqueológico Nacional. *Boletín del Museo Arqueológico Nacional* 25, 121-128 .

- Cau, M. A., 2004, La ciutat romana de Palma: hipòtesis sobre el seu traçat urbà i restes arqueològiques, a M. ORFILA, M. A. CAU (eds.), *Les ciutats romanes del Llevant peninsular i les Illes Balears*. Editorial Pòrtic, Barcelona, 191-237.
- Cau, M. A., Chávez, E., 2003, El fenómeno urbano en Mallorca en época romana: los ejemplos de Pollentia y Palma. *Mayurqa: revista del Departament de Ciències Històriques i Teoria de les Arts* 29, 27-50.
- Cau, M., A., Boudin, M., Van Strydonck, M., Mas Florit, C., Cardona, F., Chávez, M^a. E., 2015, Radiocarbon dating of inhumations from the church of Santa Ana over the roman city of Pollentia (Alcudia, Mallorca) a Cau, M., A., Chávez, M^a. E., (eds.), *Excavaciones arqueológicas en Pollentia (Alcudia, Mallorca) Campaña 2015*, 397-406.
- Cau, M. A., Van Strydonck, M. Boudin, M., Mas, C., Mestres, J., Cardona, F., Chávez, M.^a E., Orfila, M., 2017, Christians in a Muslim World? Radiocarbon dating of the cemetery over the forum of Pollentia (Mallorca, Balearic Islands). *Archaeological and Anthropological Sciences* 9, 1529–1538.
- Downey, G., 1957, Ancient Education. *The classical Journal* 8, 337-345.
- Estévez Campo, E. J., 2018, *Estimación del sexo en individuos subadultos. Aplicación de técnicas morfogeométricas en una población mediterránea*. Universidad de Granada, Granada.
- Fass, P. S., 2013, Is there a Story in the History of Childhood? a P.S. Fass, *The Routledge History of Childhood in the Western World*. Routledge, Londres, 1-14.
- Garcia, E., 2003, Las ciudades romanas de Mallorca y su diversidad estatuaría. *Mayurqa: revista del Departament de Ciències Històriques i Teoria de les Arts* 29, 71-84.
- Garcia, J., Gregorio, M^a. C. D., 2014, La infancia en Roma: juegos de niñas y niños a Lavado, P., J., Lacambra, V., M., (eds.), *VII Jornadas nacionales de ludotecas*. Comarca de la Sierra de Albarracín, 71-94.
- Isidro, A., Malgosa, A., 2003, *Paleopatología. La enfermedad no escrita*. Masson, Barcelona.
- James, S., 2016 *Problemas existentes en la identificación de sexo y edad en los enterramientos infantiles*. Universidad de La Laguna, San Cristóbal de La Laguna.
- Krenzer, U., 2006a. Tomo I Osteometría a Krenzer, U., *Compendio de métodos antropológico forenses para la reconstrucción del perfil osteo-biológico*. CAFCA, Centro de Análisis Forenses y Ciencias Aplicadas, Guatemala.
- Krenzer, U., 2006b. Tomo II Métodos para la determinación del sexo a Krenzer, U., *Compendio de métodos antropológico forenses para la reconstrucción del perfil osteo-biológico*. CAFCA, Centro de Análisis Forenses y Ciencias Aplicadas, Guatemala.

- Lewis, M., 2007, *The Bioarchaeology of Children. Perspectives from Biological and Forensic Anthropology*. Cambridge University Press, Cambridge.
- Lillehammer, G., 2018, The History of the Archaeology of Childhood a S. Crawford, D. M. Hadley & Shepherd G. (eds.), *The Oxford Handbook of the Archaeology of Childhood*. Oxford University Press, Oxford 38-54.
- López, R., 2014, La infancia en Roma. “Mientras viví, jugué” a R. Hernández & J. Alonso (eds.), *Las edades del hombre, Las etapas de la vida entre griegos y romanos*. Delegación de Madrid de la Sociedad Española de Estudios Clásicos: Madrid, 69-91.
- Mantilla Pinilla, A. J., Tallón Guerola, P., Cañón Murillo, D. P., Sirera Matilla, M., Rojas Blandón, J. F., & Romera Barroso, B., 2018, *Hallazgos normales en los estudios radiológicos de la columna cervical en la edad pediátrica*. Seram, Sociedad Española de Radiología Médica.
- Mañas, I., Saiz, J. N., 2020, Pueri nascentes: rituals, birth and social recognition in Ancient Rome a Rebay, K., Pany, D. (eds.), *Ages and abilities. The stages of Childhood and their social recognition in Prehistoric Europe and beyond*. Archaeopress, 235-248.
- Maresh, M. M., 1970, Measurements from roentgenograms a R.W. McCammon (eds.) *Human Growth and Development*. C.C. Thomas, Springfield, 157-200.
- Mourelle, M^a. R., 2004, *Correlación entre la maduración dentaria e indicadores de crecimiento esquelético en pacientes odontopediátricos*. Universidad Complutense de Madrid, Madrid.
- Orfila, M., 2008, La intervención de Quinto Cecilio Metelo sobre las Baleares (123-121 a.C.). Condiciones previas y sus consecuencias. *Pyrenae, revista de prehistòria i antiguitat de la Mediterrània occidental* 39(2), 7-45.
- Orfila, M., 2005, La vajilla de barniz negro y la ciudad romana de “Pollentia” (Alcudia, Mallorca). *Verdolay. Revista del Museo Arqueológico de Murcia* 9, 127-140.
- Orfila, M., 2007, Una visión general de la Ciudad romana de Pollentia. Época Tardo-republicana y Alto Imperial a Amengual, J. et al., (eds.), *Mallorca romana*. Cort, Palma, 87-142.
- Orfila, M., Arribas, A. y Cau, M. A., 1999, El foro romano de Pollentia. *AESPA, Archivo Español de Arqueología* 72, 99-118.
- Prieto, A., 1987-1988, Un punto oscuro en la invasión romana de las Baleares: la piratería. *Habis* 18-19, 271-276.

- Reinoso del Río, M. C., 2003, Cerámica romana de paredes finas del museo provincial de Cádiz. Estudio de materiales. 2000. *Anuario Arqueológico de Andalucía 2000* 2, 97-110.
- Rousseau, J. J., 2003, *Emile, or Treatise on Educations*. W.H. Payne (trad.). Prometheus Books, Amhersts.
- Sastre, M., A., Cardona, F., 2013, La troballa d'una àrea de necròpolis romana al subsol de les antigues cases de Can Ramis a Alcúdia a Riera, M., Cardell, J., (eds.), *V Jornades d'arqueologia de les Illes Balears*. Edicions Documenta Balear, Palma, 135-143.
- Saunders, S., Hoppa, R., Southern, R., 1993, Diaphyseal growth in a nineteenth-century skeletal sample of subadults from St Thomas' Church, Belleville, Ontario. *International Journal of Osteoarchaeology* 3, 265-268.
- Schaefer, M., Black, S., Scheuer, L., 2009, *Juvenile Osteology. A Laboratory and Field Manual*. Academic Press, Amsterdam.
- Sevilla, A., 2011, Mors immatura en el mundo romano: provincia tarraconensis. *Anales de arqueologia cordobesa* 21-22, 197-220.
- Taylor, A., 1997, A Roman Child Burial with Animal Figurines and Pottery, from Godmanchester, Cambridgeshire, *Britannia* 28, 386-393.
- Taylor, A. *et al.*, 1993, A Roman Lead Coffin with Pipeclay Figurines from Arrington, Cambridgeshire, *Britannia* 24, 191-225.
- Thomson, J., Crandall, J., Alfonso, M., 2014, Children in Prehistory a Thomson, J., Crandall, J., Alfonso, M.,(eds.) *Tracing Childhood. Bioarchaeological Invertigations of Early Lives in Antiquity*. University Press of Florida, Gainesville, 1-14.
- Ubelaker, D., 1989, *Human Skeletal Remains. Excavations, analysis, interpretation*. Taraxacum, Washington.
- Vallori, B. Mas, C. Cau, M.A., 2013, Romanos, vándalos y bizantinos: esbozo histórico de unes islas dominadas a Calvo, M., Aguarales, A., (eds.) *Apuntes sobre la historia de Calvià en el contexto de las Islas Baleares*. Fundació Calvià, Palma, 147-164.
- Vaquerizo, D., 2004, Immaturi et Innupti. Terracotas figuradas en ambiente funerario de Corduba, Colonia Patricia. *Anales de arqueologia cordobesa* 16, 333-336.